

(2) 好気土壤における代謝 (米国土壤)

(資料 No. M-14)

試験機関 : Ricerca, Inc. (GLP 対応)

報告書作成年 : 1996 年

供試標識化合物 : 以下の ^{14}C 標識化合物を供試した。

名称	構造式	比放射能	放射化学的純度
D2341		4.2MBq/mg	

化学名 : Isopropyl 2-(4-methoxybiphenyl-3-yl)hydrazinoformate

供試土壤 : Madison (Ohio) の土壤を試験に供した。土壤は使用前に 2mm の篩に通し、供試時まで保存した。供試土壤の物理化学的性質を以下に示した (原報告書 APPENDIX B)。

土性	砂壤土
pH	6.7
陽イオン交換容量 (meq./100g)	5.59
有機物含量 (%)	1.89
容水量, 1/3 パーツル (%)	9.29
容水量, 15 パーツル (%)	4.02
砂含量 (%)	73.2
シト含量 (%)	18.0
粘土含量 (%)	8.8

試験方法 :

培養条件及び処理方法

乾土重 50g (総重量 52.23g) の土壤試料 26 点を調製し、本試験のデータ採取時点の 2 連試料を供給した。試料への施用直前に土壤含水量を 9% (1/3 パーツルの約 75%) に調整した。水分量は 1 週間毎に調整を行い、このレベルを維持した。

当試験の土壤中の D2341 濃度は 0.4 $\mu\text{g/g}$ (ppm) *とした。施用は、マイクロスピンサ-を用い、

D2341 アセトニトリル溶液 (0.038 $\mu\text{g}/\mu\text{L}$) を 0.532mL 土壤試料に添加し、栓をして手で振とうした。1 日以降の採取時点の土壤試料を入れた瓶は栓をせずに試験系中に置いた。一方、0 から 8 時間の採取時点の土壤を入れた瓶は、抽出時まで栓をしたままにした。

* D2341 の予定使用量は 3/8 ポンド a. i. /I-カ-である。この量は 3 インチ-カ-の土壤層で 0.375ppm に相当する。

施用後の土壤容器は、発生する放射性気体を捕集するために代謝容器に収納した。代謝容器から排出された空気は、下記の捕集管に順次導入した。

1. 乾燥塔 (ドライライト™)
2. 活性炭トラップ® (低分子量化合物捕集用)

3. 挥発性有機物トラップ（テナックス TATM） 、2連
4. 二酸化炭素トラップ（1N 水酸化ナトリウム） 、2連

全てのトラップは、1日以降の各試料採取時点で交換した。代謝容器は環境チャンバー中の暗所に維持し、25±1°Cの温度に保持した。

試料採取

0（施用直後）、0.5、2、8時間及び1、3、7、14、28日後に土壤試料を分析した。又、1、3、7、14、及び28日後に揮発性物質トラップの分析を行った。

試料の分析

1) 抽出液中に添加する安定化剤

試料中に存在するD2341を安定的に分析し、回収するため、非放射性D2341を抽出液中に40ppmの濃度（2.0mg/50mL）で添加した。

2) 土壤試料の分析

3) 挥発性物質捕集液の分析

活性炭及びテナックスTATMトラップ含有物は、メタノールにて抽出し、LSC分析を行った。1N水酸化ナトリウムトラップはその一部を採取し、LSC分析を行った。

試験結果：

1) ^{14}C 分布及び収支

土壤に添加した ^{14}C の各時点における収支（回収率）を表 1 に示した。

抽出可能画分は、0 日の 107.3% から 28 日後には 29.8% に減少した。結合体残留物は 28 日後で 73.8% に達した。又、28 日の試験期間中に、少量の二酸化炭素と揮発性物質が検出された（施用量の 1.2% 未満）。

各時点での ^{14}C の回収率は、98.8%～107.5% の範囲であった。

表 1 各時点での ^{14}C の分布（原報告書 Table II）

時間	数値は施用放射能に対する %									
	0 時点	0.5 時間	2 時間	8 時間	1 日	3 日	7 日	14 日	28 日	
抽出可能画分 ¹	107.3	100.3	87.8	65.5	47.0	37.8	34.5	31.4	29.8	
結合体残留物 ¹	0.2	5.5	15.5	37.1	57.2	60.9	66.1	70.8	73.8	
$^{14}\text{CO}_2$	NA	NA	NA	NA	0.0	0.1	0.4	0.8	1.1	
揮発性化合物	NA	NA	NA	NA	ND	ND	ND	ND	ND	
回収率	107.5	105.8	103.3	102.6	104.2	98.8	101.0	103.0	104.7	

¹ 2 連の平均

NA：適用なし ND：検出せず

2) D2341 と代謝物の半減期

D2341 とその代謝物の分布を表 2 に示した。又、D2341 及び代謝物の推移を図 1 に示した。代謝の速度は極めて速く、D2341（記号 A）は 0 時点の 93.2% から 0.5 時間後には 2.8% に減少した。

当試験条件下の好気土壤中における D2341 の半減期は 0.5 時間未満であった。

表 2 D2341 とその代謝物の分布（原報告書 Table III）

時間	数値は施用放射能に対する %									
	0 時点	0.5 時間	2 時間	8 時間	1 日	3 日	7 日	14 日	28 日	
抽出可能画分 ¹	107.3	100.3	87.8	65.5	47.0	37.8	34.5	31.4	29.8	
D2341（記号 A）	93.2	2.8	1.6	1.3	1.2	1.0	0.9	0.7	0.6	

¹ 2 連の平均

本資料に記載された情報に係る権利及び内容の責任は日産化学工業株式会社にある。

²M1、M2 及び M3 はそれぞれ保持時間約 3 分、10 分及び 8 分の微小ピークを示す
ND：検出せず

図 1 D2341 及び代謝物の推移（原報告書 Figure17）

3) 抽出残渣固体の特徴付け

4) 想定代謝経路

好気土壤における想定代謝経路を図 2 に示した。

本資料に記載された情報に係る権利及び内容の責任は日産化学工業株式会社にある。

図2 D2341 の好気土壤における想定代謝経路 (原報告書 Figure24)

(3) 好気土壌における代謝（日本土壤）

(資料 No. M-15)

試験機関：日産化学工業(株)

報告書作成年：1999年

供試標識化合物：以下の¹⁴C 標識化合物を供試した。

名称	構造式	比放射能	放射化学的純度
D2341		7.1 MBq/mg	

化学名：Isopropyl 2-(4-methoxybiphenyl-3-yl)hydrazinoformate

供試土壌：(社)岩手植物防疫協会のリンゴ 果樹園（岩手県岩手郡滝沢村）の土壌を試験に供した。

土壌は使用前に 2mm の篩に通し、供試時まで 4°C の冷蔵庫に保存した。供試土壌の物理化学的性質を以下に示した（原報告書 10 ページ）。

土壌名	岩手土壌
採取場所	岩手植防果樹園
成因	火山灰土壌
土性（国際法）	埴壤土
砂含量 (%)	52.5
沙ト含量 (%)	29.4
粘土含量 (%)	18.1
有機炭素含量 (%)	10.18
pH (H ₂ O)	1 : 2.5, 25°C
陽イオン交換容量 (meq./100g)	4.9
リン酸吸収係数 (P ₂ O ₅ mg/100g)	34.9
最大容水量 (%)	2310
水分含有率 (%)	134.3
粘土鉱物	アロフェン

試験方法：

試験容器と土壌の充填

試験容器には、10mL 容丸底管を溶接した 100mL 容の三角フラスコ（パイオメーターフラスコ）を使用した。

この容器に乾土 15g 相当量 (26.53g) の土壌を入れ、土壌最大容水量の 60%となるように蒸留水で調製した。土壌厚は約 2cm であった。丸底管上部をシリコン製栓で、フラスコ上部をアルミ箔で蓋をし、25°C の遮光された恒温槽中で 8 日間予備培養した。

揮発性化合物の捕集

試験容器であるパイオメーターフラスコの丸底管部にアルカリトラップとして 4mL の 1N NaOH 水溶液を入れ、溶接部に有機トラップとしてポリウレタンフォームを付けた。ポリウレタンフォームは予備培養開始 7 日後に、1N NaOH 水溶液は薬剤添加直前に設けた。

D2341 の添加

当試験の土壤中の D2341 濃度は $1.2\mu\text{g/g}$ (ppm) *とした。施用は、マイクロシリンジを用い、

D2341 アセトニトリル溶液 (180ppm) を $100\mu\text{L}$ 土壤表面に添加し、添加直後分析用試料を除いてガラス棒で十分混和した。ガラス棒は試験容器内に残し、容器上部をガラス栓で密封した。

* D2341 の予定使用量は 120g a.i./10a である。この量は 10cm の土壤深で 1.2ppm に相当する。

土壤培養条件及び試料の採取

D2341 添加後の土壤容器は、 25°C の遮光された恒温槽内に静置した。添加直後、24、72 及び 144 時間後に各 2 点の試料を恒温槽から取り出し、土壤、ポリウレタンフォーム及び 1N NaOH 水溶液をそれぞれ分析した。

試料の分析

1) 土壤試料の分析

試験結果：

1) ^{14}C 分布及び収支

土壤に添加した ^{14}C の各時点における代謝物の分布及び収支を表に示した。又、D2341 及び代謝物の推移を図 1 に示した。

アセトニトリル抽出画分は、添加直後で添加放射能の 96.70% であったが、添加 24 時間後では 8.90% と急速に減少した。アセトニトリル: 塩酸抽出画分は、添加直後で 2.42%、24 時間で 0.74%、72 時間で 0.56%、144 時間で 0.36% であり、いずれにおいても低い値であった。

D2341 (記号 A) は、直後で添加放射能の 88.94% (アセトニトリル抽出画分及びアセトニトリル: 塩酸抽出液有機抽出画分の合値) であり、24 時間後で 2.38%、144 時間後で 1% 以下となった。本試験での D2341 の土壤中半減期は 24 時間以内であり、D2341 の土壤中残留は極めて少ないことが示された。

残渣中放射能は、添加直後で添加放射能の 0.15% であったが、24 時間後には 3.31% に増加した。それ以降は減少し、144 時間後には 2.14% となった。従って、D2341 或いは

代謝物が土壤中に bound residue として残留することは少ないと考えられた。

有機トラップであるポリウレタンフォームからは放射能は検出されなかった。一方、アルカリトラップである 1N NaOH 水溶液中放射能は 24 時間後で 77.48%、72 時間後で 82.67%、144 時間後で 86.20% と経時的に増加した。アルカリトラップ 中放射能は、

二酸化

炭素であることが確認された。従って、D2341 或いは代謝物 は土壤中で極めて速やかに脱離し、二酸化炭素になることが示された。

各時点での ^{14}C の回収率は、90.43%～99.27% の範囲であった。

表 各時点での ^{14}C の分布 (原報告書 表 2)

	数値は添加放射能に対する%、2 連平均			
	添加後時間 (hr)			
	0	24	72	144
アセトニトリル抽出液	96.70	8.90	5.16	3.10
D2341 (記号 A)	86.96	2.28	1.36	0.75
アセトニトリル: 塩酸抽出液	2.42	0.74	0.56	0.36
D2341 (記号 A)	1.98	0.10	0.07	0.04
抽出残渣	0.15	3.31	2.33	2.14
有機トラップ	<0.01	<0.01	<0.01	<0.01
アルカリトラップ	<0.01	77.48	82.67	86.20
合計	99.27	90.43	90.72	91.80

図 1 D2341 及び代謝物の推移 (原報告書 図 2)

2) 代謝分解のまとめ

このように、D2341 或いは
いことが示された。

D2341 の畑地土壤における推定代謝経路を図 2 に示した。

代謝物は土壤中の残留がほとんど無

図 2 D2341 の畑地土壤における推定代謝経路 (原報告書 図 10)

(4) 嫌気性湛水底質における代謝（米国底質土）

(資料 No. M-16)

試験機関 : Ricerca, Inc. (GLP 対応)

報告書作成年 : 1998 年

供試標識化合物 : 以下の ^{14}C 標識化合物を供試した。

名称	構造式	比放射能	放射化学的純度
D2341		4.2MBq/mg	

化学名 : Isopropyl 2-(4-methoxybiphenyl-3-yl)hydrazinoformate

供試土壤 : カリフォルニア州北東部田園地帯の非農耕地の池から得られた底質と水を試験に使用した。底質は 2mm メッシュの篩に通し、水は 0.6mm の篩に通した。これらは供試時まで室温で保存した。底質の含水率を測定した結果、99%であった。風乾した底質及び水の物理化学的性質を以下に示した（原報告書 Table I 及び II）。

底質	pH	6.6
	陽イオン交換容量 (meq./100g)	14.56
	有機物含量 (%)	6.85
	容水量, 1/3 ハ'ル (%)	31.05
	容水量, 15 ハ'ル (%)	15.49
	砂含量 (%)	34.8
	シルト含量 (%)	40.4
	粘土含量 (%)	24.8
	土性	壤土
	ハ'ル密度 (g/cc)	1.15
水	pH	6.958
	伝導率 (μMhos)	6200
	硬度 ($\mu\text{g/mL}$)	
	カルシウム	71.6
	マグネシウム	17.3

各分析時点用の 2 連試料、微生物活性分析用の試料及び予備試料として、湿重量 20g の底質試料 61 点を調製した。その他に、代謝物の単離と同定を目的として 50 点の試料を調製した。水と底質の比を 3:1 とするために、それぞれの底質試料には 20g の水を添加した。

被験物質の添加に先立ち、試験試料を窒素雰囲気下のテバーラーに入れ、25±1°C の暗所で約 3 ヶ月間インキュベートした。

試験開始前 (1995 年 10 月 25 日)、試験開始時 (1995 年 10 月 31 日)、試験中の数時点及び試験終了時点 (1996 年 11 月 5 日) に底質の微生物分析を行い、いずれも微生物の棲息が確認された。

試験方法：

水系試料への施用

水系試料は、施用の前に窒素を充満させたグローブバッグに入れた。試料の水相に 35 μL の施用液 A (D2341 0.862 μg/μL アセトニトリル) を施用した (D2341 1.05 μg/g 水に相当)。代謝物の単離及び同定用の試料には、水相に 35 μL の施用液 B (D2341 1.242 μg/μL アセトニトリル) を施用した (D2341 1.24 μg/g 水に相当)。試料に蓋をし、ポルテックスミキサーを用いて 1 分間激しく攪拌して被験物質を水と底質に分布させた。0 時点の試料を除く全試料の蓋を取り、それらを窒素環境中のデジタル-タ-中に入れた。0 時点の試料は直ちに抽出、分析した。

試験系

代謝容器の導入口からは、酸素トラップと水ガムを通した高純度の加圧窒素を流入させた。代謝容器から流出する窒素は、ドライアイト™乾燥塔、低分子量化合物捕集用の活性炭トラップ、2 連の揮発性有機物トラップ（テナックス TA™）及び 2 連の二酸化炭素トラップ（1N NaOH）を通過させた。代謝容器中には追加の二酸化炭素トラップ（1N NaOH）を置いた。すべてのトラップは、2 日以降の各試料採取時点で交換した。底質対照区試料及び代謝物単離同定用試料は、2 対の通気捕集システムを用いた別々の代謝容器中に収容した。代謝容器は環境チャンバー中で暗所に維持し、25±1°C の温度に保持した。嫌気条件は、試験の開始前に確認（酸化還元電位が負であること）した他、試験期間中にもモニタ-した（酸化還元電位は-283 から-120mV の範囲であった）。

試料採取と取り扱い

0 時点、2、7、14 及び 28 日後と 2、4、6、8、10 及び 12 ヶ月後に 2 連の底質試料を分析した。二酸化炭素トラップ、活性炭トラップ及び揮発性物質トラップは、採取日程に従って交換し、分析した。

代謝物の単離と同定用に調製した試料は、21 日後と約 6 ヶ月後に分析した。

試料はすべて 24 時間以内に抽出し、HPLC で分析した。必要に応じ、試料は-5°C の冷凍庫中で一夜保存した。

底質/水試料の分析

試料は、底質/水試料の分析手順（下図、原報告書 Figure2）に従って抽出し、分析した。

試料の保存条件及び安定性

すべての施用液と底質抽出液は -5°C の冷凍庫中で保存した。

揮発性トラップの分析

分解物の単離、特徴付け及び誘導体化

PES の特徴付け

以下の抽出手順を用いて抽出後の固体残渣の特徴付けを行った。

試験結果：

1) ^{14}C 分布及び収支

試料に添加した ^{14}C の各時点における収支（回収率）を表 1 に示した。計算は、水相、有機溶媒抽出可能、揮発物トラップ 及び PES 中に認められた ^{14}C の合計量に基づいて行った。

個別の試料採取日の物質収支は平均で 92.3 から 100.6% の範囲であった。

可溶性画分は、平均値で 0 時点の 100.1% から 28 日後には 85.8% に、試験終了時である 12 ヶ月後には 47.2% に減少した。結合体残留物(PES)は 0 時点の 0.5% から 28 日後には 12.1% に、12 ヶ月後には 51.5% に増加した。12 ヶ月の試験期間中に、少量（施用量の 0.5% 未満）の二酸化炭素と揮発性物質が観察された。

表 1 各時点での ^{14}C の分布（原報告書 Table IV）

数値は施用放射能に対する%、2 連平均

	水相 AQ	底質相抽出		小計	固体残渣	$^{14}\text{CO}_2$	揮発性 物質	合計
		OR1	OR2					
0 時点	14.1	83.7	2.3	100.1	0.5	0.00	0.00	100.6
2 日	7.4	81.9	5.6	94.8	3.2	0.00	0.00	98.0
7 日	6.1	78.4	5.4	89.9	7.8	0.01	0.00	97.7
14 日	5.2	67.9	9.9	83.0	12.1	0.02	0.00	95.1
28 日	5.2	68.3	12.4	85.8	12.1	0.03	0.00	97.9
2 ヶ月	4.6	73.0	6.7	84.2	15.8	0.04	0.00	100.0
4 ヶ月	4.5	52.3	15.2	72.0	28.4	0.07	0.00	100.5
6 ヶ月	3.2	40.3	15.8	59.3	35.5	0.09	0.00	94.9
8 ヶ月	3.0	34.5	12.4	49.8	42.4	0.12	0.00	92.3
10 ヶ月	2.9	33.2	13.6	49.6	46.1	0.14	0.00	95.8
12 ヶ月	2.6	35.0	9.6	47.2	51.5	0.17	0.00	98.9

2) D2341 と代謝物の半減期

D2341 とその代謝物の分布を表 2 に示した。又、D2341 及び代謝物の推移を図 1 に示した。

代謝の速度は遅く、D2341（記号 A）は 0 時点の 93.1% から 28 日後に 70.5% に減少した後、8 ヶ月後で <10% に減少した。

採用した嫌気条件下での全試験期間中における D2341 の半減期は 77.9 日と算出された。

本資料に記載された情報に係る権利及び内容の責任は日産化学工業株式会社にある。

表 2 D2341 とその代謝物の分布 (原報告書 Table V)

数値は施用放射能に対する%、2連平均

測定時点	HPLC 画分				
				^{4²} D2341、記号 A)	
0 時点				93.1	
2 日				88.6	
7 日				78.5	
14 日				69.0	
28 日(1ヶ月)				70.5	
58 日(2ヶ月)				60.6	
119 日(4ヶ月)				32.5	
175 日(6ヶ月)				17.5	
231 日(8ヶ月)				7.1	
294 日(10ヶ月)				6.1	
356 日(12ヶ月)				4.8	

各数値は、全分析画分 (AQ、OR1、OR2) の HPLC 画分の合計

ND : 検出せず

図 1 D2341 の分解及び代謝物の生成と消失 (原報告書 Figure20)

3) PES の特徴付け

4) 被験物質と試料の保存中における安定性

試験期間中に冷凍保存していた間、底質抽出液中の被験物質はかなり安定であった。2ヶ月後の AQ、OR1 及び OR2 抽出液を、抽出の 0 時点及び -5°C で約 1 ヶ月間保存後に HPLC により分析した。その結果、抽出液はかなり安定であり、保存期間における組成変化は 6% 未満であった。

5) 想定代謝経路

嫌気性湛水底質における想定代謝経路を図 2 に示した。

本資料に記載された情報に係る権利及び内容の責任は日産化学工業株式会社にある。

図2 D2341 の嫌気湛水底質における想定代謝経路（原報告書 Figure28）

4. 水中運命に関する試験

1. 加水分解運命試験

(1) 加水分解試験 (OECD111 準拠 : pH4、7、9 / 25°C、35°C)

(資料 No. M-17)

試験機関 : 日産化学工業(株)

報告書作成年 : 1999 年

供試標識化合物 : 以下の ¹⁴C 標識化合物を供試した。

名称	構造式	比放射能	放射化学的純度
D2341		4.1MBq/mg	

化学名 : Isopropyl 2-(4-methoxybiphenyl-3-yl)hydrazinoformate

供試水 : 0.05M フタリ酸緩衝液 (pH4) 、 0.05M リン酸緩衝液 (pH7) 及び 0.05M カルボン酸緩衝液 (pH9)

各緩衝液は窒素通気により酸素を排除した後オートクレーブ滅菌 (120°C、20 分) した。

試験方法 :

当試験は、OECD ガイドライン 111 に準拠して実施された。

試験溶液の調製

供試水 5mL を滅菌済みの 10mL 容ガラス試験管に分注し、D2341 アセトニトリル溶液 (250ppm) 20uL を加え、1ppm*となるように溶解した。テフロンシーリング ネジ 口キャップで栓をし、25°Cもしくは 35°Cに保ったインキュベーター内に静置した。

*D2341 の水溶解度は 3.76ppm (20°C) であり、当試験は水溶解度の 1/2 以下で実施された。

試料採取の時間

試料の採取は、以下の時間に行った。試料採取及び分析は 2 連で行った。

pH4、25°C : 0、4、8、12、16、18、20、22、26、30 及び 33 日後

pH4、35°C : 0、2、4、6、7、8、9、12、14、16 及び 17 日後

pH7、25°C : 0、2、4、8、12、21、24、28、32、36、45、52、56、60、64 及び 68 時間後

pH7、35°C : 0、3、6、9、12、14、16、18、19、20 及び 22 時間後

pH9、25°C : 0、0.5、1、1.5、2、3、3.5、4、4.5、5、5.5、6、6.5、7 及び 8 時間後

pH9、35°C : 0、0.5、1、1.5、2、2.5、2.75、3、3.25、3.5 及び 4 時間後

本資料に記載された情報に係る権利及び内容の責任は日産化学工業株式会社にある。

試料の分析

試料の分析方法を以下に示した。

試験結果：

1) pH4、25°Cにおける加水分解

pH4、25°Cでの有機画分中分解物の推移を表1に示した。また、D2341の減衰を図1に示した。

D2341(記号A)の減衰は2相性(0-24日及び24-33日)を示し、33日後には残存率が27.3%に減少した。D2341の半減期は21.5日であった。

主要分解物はで33日後に最大で処理放射能のまで達した。

は18日後に最大の検出された後、減少した。処理放射能の10%を超える分解物はのみであった。

表1 pH4、25°Cにおける加水分解(原報告書 表2-1)

処理後時間	0	4day	8day	12day	16day	18day	20day	22day	26day	30day	33day
有機画分	98.3	97.8	96.8	100.7	101.5	100.5	97.9	98.2	97.9	99.5	98.8
D2341(記号A)	92.9	85.6	76.4	69.5	58.6	52.2	50.6	47.8	43.6	28.8	27.3
水画分	<0.1	<0.1	<0.1	<0.1	0.2	0.3	0.3	0.3	0.3	0.5	0.4
合計	98.3	98.0	96.8	100.7	101.8	100.8	98.0	98.8	98.3	100.1	99.3

数値は処理放射能に対する%、2連平均

検出限界：処理放射能の0.1%

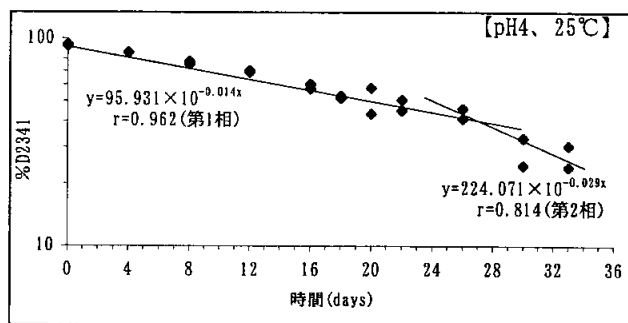


図1 pH4、25°CにおけるD2341の加水分解(原報告書 図1-1)

2) pH4、35℃における加水分解

pH4、35℃での有機画分中分解物の推移を表2に示した。また、D2341の減衰を図2に示した。

D2341(記号A)の減衰は2相性(0-12日及び12-17日)を示し、17日後には残存率が22.0%に減少した。D2341の半減期は13.1日であった。

主要分解物はで、17日後に最大で処理放射能のまで達した。また、
は、7日後に最大の検出された後減少した。このように、処理放射能
の10%を超える分解物はのみであった。

表2 pH4、35℃における加水分解(原報告書 表2-2)

処理後時間	0	2day	4day	6day	7day	8day	9day	12day	14day	16day	17day
有機画分	98.3	97.0	96.1	99.4	95.5	96.2	100.6	99.7	100.4	99.2	99.0
D2341(記号A)	93.0	83.3	78.7	68.1	60.9	59.1	60.2	49.0	33.8	28.4	22.0
水画分	<0.1	<0.1	<0.1	0.2	0.2	0.2	0.2	0.3	0.4	0.6	0.6
合計	98.3	97.2	96.1	99.5	95.9	96.4	100.7	100.2	100.9	99.8	99.7

数値は処理放射能に対する%、2連平均

検出限界：処理放射能の0.1%

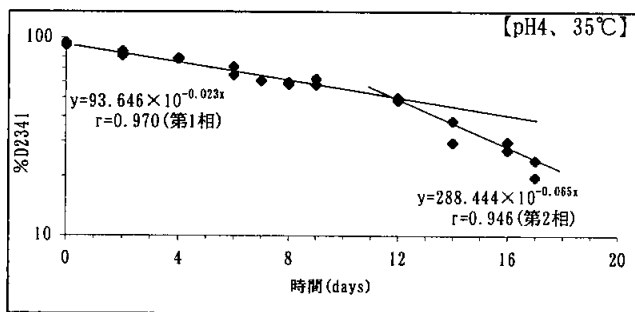


図2 pH4、35℃におけるD2341の加水分解(原報告書 図1-2)

3) pH7、25℃における加水分解

pH7、25°Cでの有機画分中分解物の推移を表3に示した。また、D2341の減衰を図3に示した。

D2341 (記号 A) の比率は、68 時間後には 21.2%に減少した。分解は 2 相性を示し (0-42 時間及び 42-68 時間) 、半減期は 50.7 時間であった。

主要分解物は _____ で、68 時間後に最大で処理放射能の _____ まで達した。また、
は、68 時間後に最大の _____ 検出された。このように、処理放射能の 10%を
超える分解物は _____ のみであった。

表3 pH7、25℃における加水分解（原報告書 表3-1より抜粋）

処理後時間	0	2hr	4hr	12hr	21hr	28hr	36hr	45hr	52hr	60hr	68hr
有機画分	100.2	99.0	100.4	99.4	97.0	98.8	99.0	97.0	99.2	99.2	99.6
D2341(記号A)	95.7	93.9	95.7	91.5	84.0	79.5	73.8	59.0	46.8	30.4	21.2
水画分	<0.1	<0.1	<0.1	<0.1	0.1	0.1	0.3	0.2	0.2	0.3	0.3
合計	100.1	99.0	100.4	99.3	97.1	98.8	99.3	97.2	99.4	99.6	99.9

数値は処理放射能に対する%、2連平均

検出限界：処理放射能の 0.1%

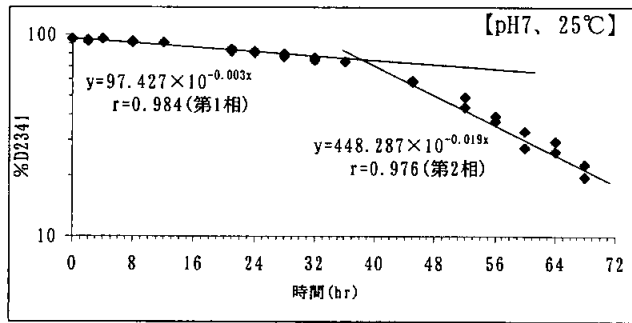


図3 pH7、25℃におけるD2341の加水分解（原報告書 図2-1）

4) pH7、35℃における加水分解

pH7、35℃での有機画分中分解物の推移を表4に示した。また、D2341の減衰を図4に示した。

D2341(記号A)の比率は、22時間後には18.2%に減少した。分解は、2相性(0-14時間及び14-22時間)を示し、半減期は16.1時間であった。

主要分解物はで、22時間後に最大で処理放射能のまで達した。また、
は、19時間後に最大検出された。処理放射能の10%を超える分解物
はであった。

表4 pH7、35℃における加水分解(原報告書 表3-2)

処理後時間	0	3hr	6hr	9hr	12hr	14hr	16hr	18hr	19hr	20hr	22hr
有機画分	101.1	101.4	102.8	101.1	99.4	100.2	100.2	100.4	101.9	98.5	99.0
D2341(記号A)	91.0	91.0	87.9	77.0	67.8	62.4	46.0	39.2	30.8	30.3	18.2
水画分	<0.1	<0.1	0.1	0.1	0.1	0.2	0.2	0.2	0.3	0.4	0.3
合計	101.0	101.3	103.0	101.3	99.4	100.5	100.5	100.5	102.1	98.9	99.3

数値は処理放射能に対する%、2連平均

検出限界：処理放射能の0.1%

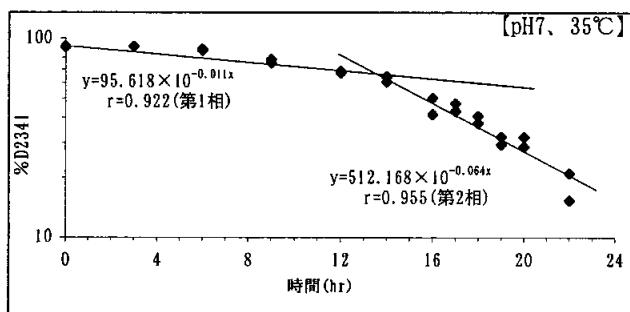


図4 pH7、35℃におけるD2341の加水分解(原報告書 図2-2)

5) pH9、25°Cにおける加水分解

pH9、25°Cでの有機画分中分解物の推移を表5に示した。また、D2341の減衰を図5に示した。

D2341(記号A)の比率は、8時間後には15.1%に減少した。分解は2相性(0-6.5時間及び6.5-8時間)を示し、半減期は6.7時間であった。

主要分解物はで、8時間後に最大で処理放射能のまで達した。また、
は8時間後に最大の検出され、は8時間後に最大の
検出された。このように、処理放射能の10%を超える分解物は
であった。

表5 pH9、25°Cにおける加水分解(原報告書 表4-1より抜粋)

処理後時間	0	0.5hr	1hr	1.5hr	2hr	3hr	4hr	5hr	6hr	7hr	8hr
有機画分	96.9	98.4	99.1	98.5	96.2	97.4	96.2	99.2	97.8	95.4	96.6
D2341(記号A)	92.7	92.2	90.9	85.7	80.0	85.0	80.6	79.4	56.8	40.7	15.1
水画分	<0.1	<0.1	<0.1	<0.1	0.1	0.1	0.2	0.3	0.4	0.7	0.8
合計	96.9	98.2	99.2	98.5	96.4	97.5	96.5	99.6	95.2	96.1	97.5

数値は処理放射能に対する%、2連平均

検出限界：処理放射能の0.1%

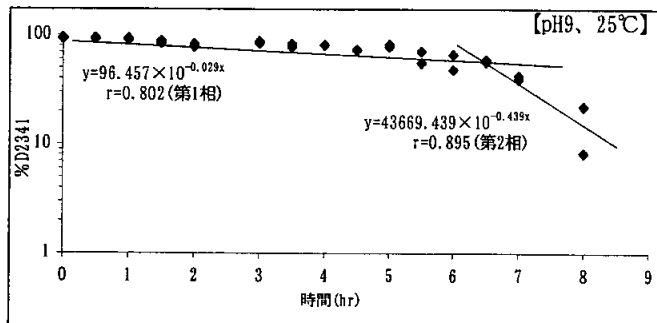


図5 pH9、25°CにおけるD2341の加水分解(原報告書 図3-1)

6) pH9、35°Cにおける加水分解

pH9、35°Cでの有機画分中分解物の推移を表6に示した。また、D2341の減衰を図6に示した。

D2341(記号A)の比率は、4時間後には16.2%に減少した。分解は2相性(0-2.5時間及び2.5-4時間)を示し、半減期は3.1時間であった。

主要分解物はで、3.5時間後に最大で処理放射能のまで達した。このように、処理放射能の10%を超える分解物はのみであり、また、5%を超える分解物としてが検出された。

表6 pH9、35°Cにおける加水分解(原報告書 表4-2)

処理後時間	0	0.5hr	1hr	1.5hr	2hr	2.5hr	2.75hr	3hr	3.25hr	3.5hr	4hr
有機画分	100.8	102.2	100.6	99.9	100.6	99.8	99.9	99.6	99.3	99.2	97.1
D2341(記号A)	91.2	92.0	90.3	87.4	81.1	67.3	69.0	60.4	43.0	41.0	16.2
水画分	<0.1	<0.1	0.2	0.2	0.3	0.4	0.3	0.4	0.5	0.6	1.0
合計	100.9	102.3	100.9	100.1	101.1	100.3	100.3	99.9	99.8	99.6	98.2

数値は処理放射能に対する%、2連平均

検出限界：処理放射能の0.1%

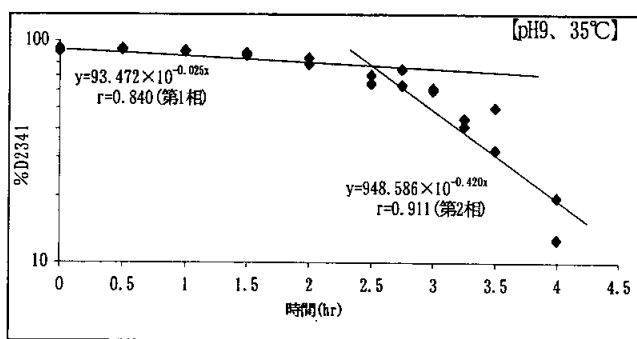


図6 pH9、35°CにおけるD2341の加水分解(原報告書 図3-2)

7) 加水分解半減期

D2341 は滅菌緩衝液中の加水分解様式は、いずれの pH においても 2 相反応性を示した。D2341 の半減期は以下の通りであった。

pH4		pH7		pH9	
25°C	35°C	25°C	35°C	25°C	35°C
21.5 日	13.1 日	50.7 時間	16.1 時間	6.7 時間	3.1 時間

8) 分解経路

加水分解物として、pH4 においては が、pH7 においては
が主に生成した。pH9 では が主要な加水分解物であった。
D2341 の推定加水分解経路を図 7 に示した。

図 7 D2341 の推定加水分解経路（原報告書 図 5）

(2) 加水分解試験 (pH4、5、7 及び 9／25°C)

(資料 No. 参考資料-1)

試験機関 : Ricerca, Inc. (GLP 対応)
報告書作成年 : 1997 年

申請者注) 本試験は、1 試験温度で実施された。申請者が資料 No. M-16 の参考資料として提出した。

供試標識化合物 : 以下の ^{14}C 標識化合物を供試した。

名称	構造式	比放射能	放射化学的純度
D2341		4.2MBq/mg	

化学名 : Isopropyl 2-(4-methoxybiphenyl-3-yl)hydrazinoformate

供試水 : 0.01M 酢酸緩衝液 (pH4 及び 5)、0.01M リン酸緩衝液 (pH7) 及び 0.01M カルボン酸緩衝液 (pH9)
各緩衝液はオートクレーブ滅菌 (121°C、20 分) 後供試された。

試験方法 :

試験溶液の調製

4.0mL の緩衝液を滅菌済みのオートサンプラー用バイアル瓶に入れ、D2341 アセトニトリル溶液 (4 μg D2341/40 μL アセトニトリル) 40 μL を添加した (処理濃度 1 $\mu\text{g}/\text{mL}^*$)。バイアル瓶は、25±1°C の暗所に保存した。

* D2341 の水溶解度は 3.76 $\mu\text{g}/\text{mL}$ (20°C) であり、本試験は水溶解度の 1/2 以下で実施された。

試料採取間隔

pH4 及び pH5 : 0、1、3、7、10、14、21 及び 30 日 (各時点 2 連採取)

pH7 : 0、1、2、3、4、6、8、10、12、25、27、30、33 及び 36 時間、2、3、5、14、21 及び 32 日 (1 あるいは 2 連採取)

pH9 : 6 点のバイアルをオートサンプラーの回転式架台に置き、20 分毎に約 1.4 時間まで順番に分析 (各バイアルより 1 回注入)。次いで 2.8 時間後まで 12 分毎に分析。約 6.4 時間後に新たな 6 点のバイアルをオートサンプラーに置き、2 時間毎に約 28.7 時間後まで順番に分析した (合計で 11 回分析)。試料はさらに 3 及び 7 日に 2 連分析した。

試料の分析

半減期の計算

線形最小二乗法により、D2341 の半減期 (DT_{50}) 及び 90% 分解期間 (DT_{90}) 及び主要分解物の半減期 (DT_{50}) を計算した。

試験結果：

1) ガラスへの吸着

pH4、5、7 及び 9 の 24 時間経過緩衝液中では、ガラスへの放射能の有意な吸着は認められなかった。各緩衝液での回収率は、pH4 溶液で 100.4%、pH5 溶液で 99.7%、pH7 溶液で 100.4%、pH9 溶液で 103.5% であった。

加水分解試験の日数の経過につれて、放射能回収率が低下する傾向が認められた。試料バイアル瓶のアセトニトリル洗浄液を HPLC 分析した結果、吸着成分はと判明した。吸着量は約 4~7% の間で変動した。加水分解における ^{14}C 分布は、ガラスに吸着したを含めて計算した。

2) 試験期間中の試料 pH

各試験区の実験開始時の pH は、設定値 ± 0.05 の範囲であった。個々の試料における ± 0.05 以上の変動は、観察された加水分解半減期には有意に影響しないと思われた。

3) 試験期間中の物質収支

各試料での平均 ^{14}C 回収率（0 時点試料の回収 ^{14}C に対する比率）は、pH4 で 98.3%、pH5 で 99.2%、pH7 で 99.1%、pH9 で 97.7% であり（原報告書 Table I~IV）、試験期間中 ^{14}C の損失はなかった。

4) HPLC 回収率

各試料の HPLC 平均回収率は、pH4 で 103.3%、pH5 で 100.5%、pH7 で 97.1%、pH9 で 97.3%（2.8 時間まで）であった（原報告書 42 頁）。22.6 時間以降の pH9 試料では、HPLC 回収率は低かった（約 60%）。これは、分解物の HPLC から不溶出が原因であった。D2341（記号 A）は 2.43 時間以降、は 2.84 時間以降試料中に検出されなかったため、半減期計算への影響はなかった。

5) 試料中の ^{14}C の分布

各 pH 溶液中の ^{14}C の分布を表 1~4 に示した。

全ての緩衝液中において D2341 (記号 A) は完全に分解した。分解物は、

と同定された。又、pH4 を除く試料中で少量認められた
は、HPLC 保持時間から同定された。

表 1 pH4 における加水分解 (原報告書 Table IV)

経過日数 日	D2341 (記号 A) %				
0	100.0				
1	94.8				
3	86.5				
7	62.2				
10	46.4				
14	27.4				
21	9.7				
30	ND				

申請者注) 2 連で示されているデータは、申請者が計算し、その平均値を表に示した。なお、
 DT_{50} 及び DT_{90} の計算に使わなかったデータ (原報告書中、*のついたもの) について
ては、平均から除いた。

ND : 検出せず

¹複数の成分から成り、個別で 10%を超える分解物はなかった。

7 日以降の試料については、洗浄によりガラス吸着を補正

表 2 pH5 における加水分解 (原報告書 Table VI)

経過日数 日	D2341 (記号 A) %					
0	100.0					
1	92.6					
3	75.5					
7	41.7					
10	19.5					
14	1.0					
21	ND					
30	ND					

申請者注: 2 連で示されているデータは、申請者が計算し、その平均値を表に示した。

ND : 検出せず、

¹複数の成分から成り、個別で 10%を超える分解物はなかった。

7 日以降の試料については、洗浄によりガラス吸着を補正

表3 pH7における加水分解（原報告書 Table VIIより経過時間を適宜抜粋して記載）

経過時間 hr	D2341 (記号 A) %							
0	100.0							
1	95.8							
4	89.0							
8	77.2							
10	73.3							
12	66.8							
24 ²	1.1							
27	9.8							
30	5.8							
36	ND							
48	ND							
73	ND							
128	ND							
342	ND							
504	ND							
768	ND							

ND：検出せず

33時間以降の試料については、洗浄によりガラス吸着を補正

表4 pH9における加水分解（原報告書 Table VIIIより経過時間を適宜抜粋して記載）

経過時間 hr	D2341 (記号 A) %							
0	96.6							
0.4	96.5							
0.7	80.7							
1.1	71.4							
1.6	33.4							
1.8	29.9							
2.2	2.1							
2.6	ND							
2.8	ND							
8.4	ND							
10.5	ND							
12.5	ND							
14.5	ND							
18.6	ND							
22.6	ND							
24.6	ND							
28.7	ND							
73.8	ND							
167.9	ND							

ND：検出せず、

18.6時間以降の試料については、洗浄によりガラス吸着を補正

6) 加水分解速度

各 pH 溶液における D2341 比率(%) の減衰直線回帰分析の結果を図 1 に示した。また、D2341 の DT₅₀ 及び DT₉₀ を表 5 に示した。

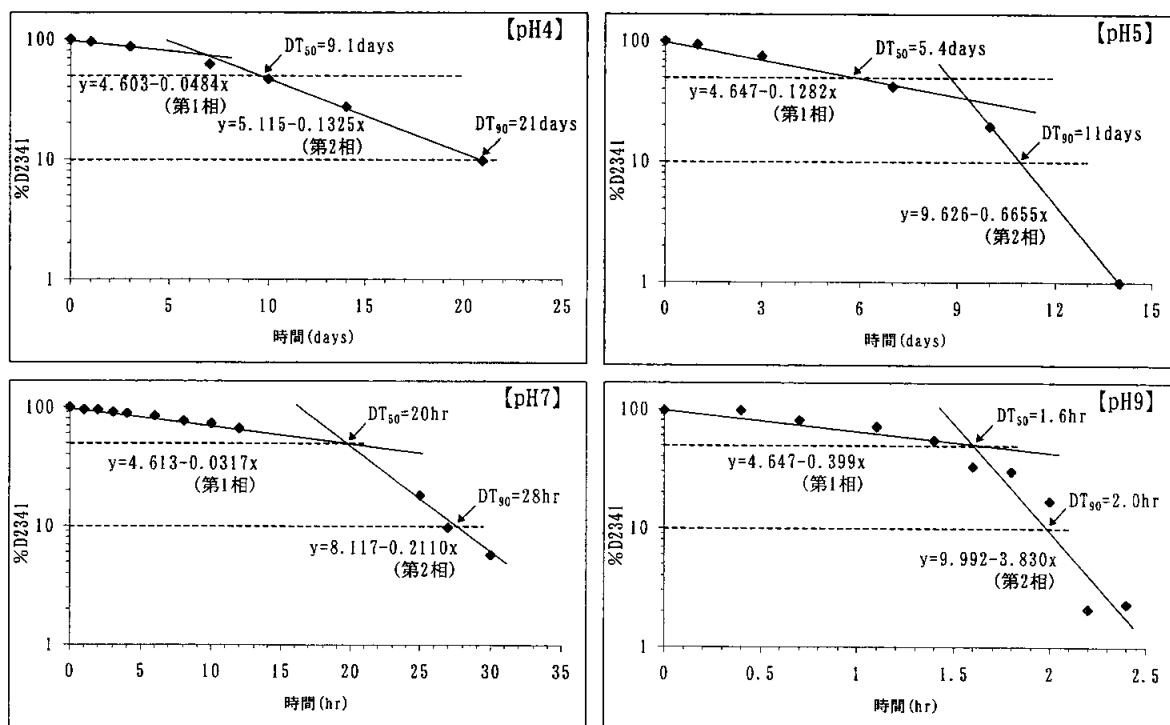


図 1 D2341 の直線回帰分析 (原報告書 Figure5~8)

表 5 D2341 の回帰分析結果のまとめ

	DT ₅₀	DT ₉₀	相関係数 ¹	連結時間 ²
pH4	218 時間 (9.1 日)	504 時間 (21 日)	0.993	6.1 日
pH5	130 時間 (5.4 日)	264 時間 (11 日)	0.991	9.3 日
pH7	20 時間 (0.8 日)	28 時間 (1.2 日)	0.998	20 時間
pH9	1.6 時間 (0.08 日)	2.0 時間 (0.08 日)	0.938	1.6 時間

¹ 両相に適合する直線の全体の相関係数

² 両相の線が交差する時間

D2341 の主要加水分解物である

の分解半減期を計算した。

7) 加水分解物の推移

D2341 の加水分解物として

が同定された。

いざれの pH 溶液においても、主要分解物は

であった。

これらは表 6 に示した最大生成量に達した後、減少した。pH4 では

は、試験終了時点

の 30 日後でも増加傾向にあった。

は、10%を越えることはなかった。

本資料に記載された情報に係る権利及び内容の責任は日産化学工業株式会社にある。

HPLC 上約 9 分に検出された分解物は、10%を超える比率 (pH5 では 30 日後で) 、pH7 では 5 日後で) であった。

pH7 及び pH9 の試料中には、2 種類の極性画分 (A 及び B) が 10%を超える比率で検出された。これらはゲラジエント HPLC 分析により、複数成分に分離され、個々の比率は 10%以下であった。

表 6 主要分解物の最大生成量及び最大生成時間

pH4				
pH5				
pH7				
pH9				

8) 加水分解経路

推定加水分解経路を図 2 に示した。

図 2 D2341 の推定加水分解経路 (原報告書 Figure 33、修正報告書 Figure 13)

本資料に記載された情報に係る権利及び内容の責任は日産化学工業株式会社にある。

2. 水中光分解運命試験

(1) 自然水及び滅菌蒸留水における水中光分解

(資料 No. M-18)

試験機関：日産化学工業(株)

報告書作成年：1999年

供試標識化合物：以下の¹⁴C 標識化合物を供試した。

名称	構造式	比放射能	放射化学的純度
D2341		4.1MBq/mg	

化学名：Isopropyl 2-(4-methoxybiphenyl-3-yl)hydrazinoformate

供試水：滅菌蒸留水：高純度蒸留水（MQ水）をオートクレーブ滅菌後供試した（pH5.9）。

河川水；元荒川（埼玉県蓮田市）より採水し、濾紙濾過後供試した（pH7.6）。

光源：センランプ（450±10W/m²、波長範囲 290～800nm）

試験方法：

準拠した試験方法

農林水産省農産園芸局長通達 9 農産第 5089 号 「農薬の物理的化学的性状に関する試験方法」16 水中光分解性

試験溶液の調製

10mL 容試験管*に入った 5mL の試験水に、D2341 アセトニトリル溶液（5µg D2341/10µL アセトニトリル）10µL を加え、1ppm**となるように溶解した。滅菌蒸留水を含む試験管への処理は、滅菌下のクリンパン内で行った。

* 光照射区は石英試験管を、暗所区はパリッシュガラス試験管を使用した。

** D2341 の水溶解度は、20°Cで 3.76ppm である。当試験は、水溶解度の 1/2 未満である約 1ppm で実施した。

光照射区

光分解装置内の水槽に試験管を横置きに静置し、人工光を連続照射した。試験管は、冷却水により温度を 25°C に保った。

暗所区

試験管をアルミ箔で覆い、25°C に保ったインキュベーター内に静置した。

試験水の採取

滅菌蒸留水 : 0、1、2、3、6 及び 12 時間後 (各 2 連)

河川水 : 0、0.25、0.5、1 及び 2 時間後 (各 2 連)

試験水の分析

試験結果 :

1) 試験期間中の物質収支

処理放射能との比較に基づいた回収率 (有機画分及び水画分の合計) は、滅菌蒸留水光照射区で 98.4~100.7%、滅菌蒸留水暗所区で 99.5~100.6%、河川水光照射区で 96.0~99.4%、河川水暗所区で 97.4~100.2% であり、試験期間中 ^{14}C の損失はなかった。

2) 滅菌蒸留水中での光分解

滅菌蒸留水中の ^{14}C の分布を表 1 に、D2341 の消長を図 1 に示した。

光照射区では、D2341 (記号 A) は経時的に減少し、12 時間後で 5.0% となった。D2341 の滅菌蒸留水中半減期は 4.8 時間であった。主要分解物は であり、12 時間で最大の に達した。 以外で処理放射能に対する割合が 5% を超えた分解物は、 であった (最大で 、12 時間後)。その他に、

が検出されたが、それらはそれぞれ処理放射能の 3% 未満であった。

暗所区では、D2341 は 12 時間でも 96.4% と、ほとんど減少しなかった。分解物で最も高い比率を占めたのは であったが、最大でも (12 時間後) でしかなかった。

表1 滅菌蒸留水中の¹⁴Cの分布（原報告書 表2～3）

数値は処理放射能に対する%、2連平均

·光照射区

· 暗所区

	処理後時間(hr)					
	0 hr	1 hr	2 hr	3 hr	6 hr	12 hr
有機画分	99.5	100.4	100.6	100.0	100.5	100.4
D2341(記号 A)	96.4	96.9	97.2	96.8	96.9	96.4
水画分	<0.1	<0.1	<0.1	0.1	<0.1	<0.1
合計	99.5	100.4	100.6	100.1	100.5	100.4

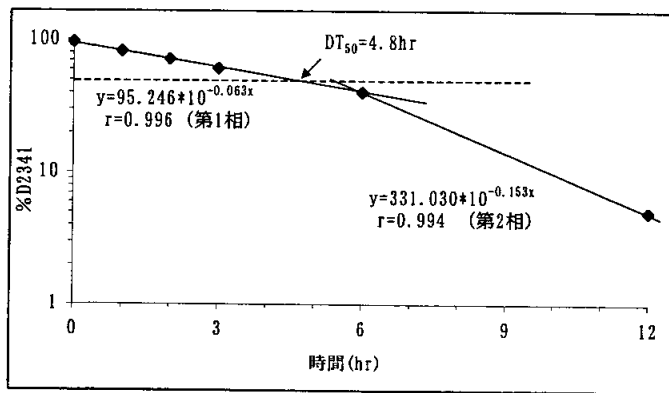


図1 D2341の滅菌蒸留水中光分解（原報告書 図1）

3) 河川水中での光分解

河川水中の¹⁴Cの分布を表2に、D2341の消長を図2に示した。

光照射区では、D2341（記号 A）は速やかに減少し、2 時間後で 1.9% となった。D2341 の河川水中半減期は 0.2 時間であった。主要分解物は であり、1 時間で最大の 82.6% に達し、2 時間後に 72.3% に減少した。 以外の分解物は、全て処理放射能の 2% 未満であった。これら分解物の中で標品と一致したのは

であった。又、2時間後の水画分に処理放射能の8.7%が検出されたため、酸性条件下での抽出を行った。その結果、有機画分に処理放射能の5.8%が抽出され、その多く（処理放射能の3.6%）はTLC原点部であった。

暗所区では、D2341 は 2 時間で 89.5% と、やや減少した。分解物で最も高い比率を占めたのは _____ であり、最大で _____ (2 時間後) であった。

表2 河川水中の¹⁴Cの分布（原報告書 表4～5）

数値は処理放射能に対する%、2 次平均

·光照射区

	処理後時間(hr)				
	0	0.25	0.5	1	2
有機画分	99.2	98.4	97.0	93.4	87.3
D2341(記号A)	96.6	47.1	22.5	3.0	1.9
水画分	<0.1	1.0	2.1	4.7	8.7
合計	99.2	99.4	99.1	98.1	96.0

·暗所区

	処理後時間(hr)				
	0	0.25	0.5	1	2
有機画分	99.2	98.6	99.0	100.0	97.0
D2341(記号 A)	96.6	94.9	95.0	94.8	89.5
水画分	<0.1	<0.1	0.1	0.2	0.4
合計	99.2	98.6	99.1	100.2	97.4

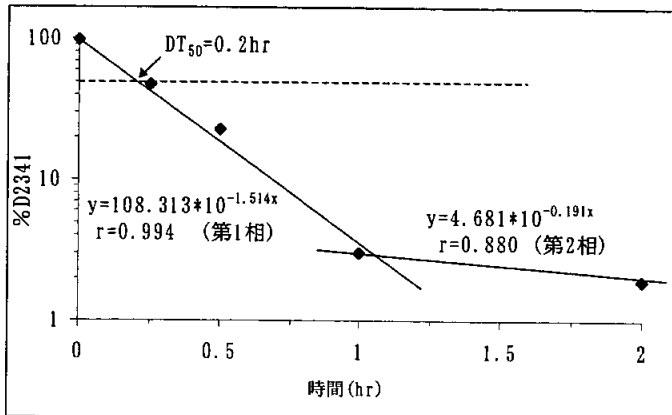


図 2 D2341 の河川水中光分解 (原報告書 図 2)

4) の同定

5) 水中光分解半減期

D2341 (記号 A) を 1ppm の濃度で滅菌蒸留水及び河川水に処理し、人工光による分解性を調べた結果、以下の半減期で分解した。

試験水	光照射区	北緯 35° 春の太陽光換算	暗所区
滅菌蒸留水	4.8 時間	21.8 時間	>12 時間
河川水	0.2 時間	0.9 時間	>2 時間

申請者注) 太陽換算は申請者が 4.551 を乗じて算出した。

本試験より、D2341 は水中にて光を照射されると速やかに消失することが明らかとなった。

推定分解経路を図 3 に示した。

図3 D2341 の推定水中光分解経路（原報告書 図30）

(2) 分解物

の水中光分解

(資料 No. M-19)

試験機関：日産化学工業(株)

報告書作成年：1999年

申請者注) D2341 (記号 A) の水中光分解試験 (資料 No. M-17) における主要光分解物を被験物質として同様に水中光分解試験を実施した。

供試標識化合物：以下の ^{14}C 標識化合物を供試した。

名称	構造式	比放射能	放射化学的純度

供試水：滅菌蒸留水；高純度蒸留水 (MQ 水) をオ-トクレーブ 滅菌後供試した (pH6.0)。

河川水 ; 元荒川 (埼玉県蓮田市) にて採水し、濾紙濾過後供試した (pH7.5)。

光源：センランプ[®] (450±10W/m²、波長範囲 290~800nm)

試験方法：

試験溶液の調製

100mL 容ガラス容器^{*}に入った 20mL の試験水に、アセトトリル溶液 (10μg /10μL アセトトリル) 20μL を加え、1ppm となるように溶解した。滅菌蒸留水を含む試験容器への処理は、滅菌下のクリンペーン内で行った。

* 光照射区のみ、蓋上面を石英ガラス製とした。

光照射区

光分解装置内に試験容器を静置し、人工光を連続照射した。試験容器は二重構造となっており、冷却水を循環することにより試験水の温度を 25°C に保った。又、揮発性化合物捕集のため、以下のトラップを連結した。

1. 有機トラップ[®] ; ミニカラム Sep-Pak C18 plus
2. 有機トラップ[®] ; 2-エキシエタノール、100mL
3. アルカリトラップ[®] ; 1N NaOH 水溶液、100mL (2 連結)

暗所区

試験管をアルミ箔で覆い、25°C に保ったインキュベーター内に静置した。又、揮発性化合物捕集のため、光照射区と同様のトラップを連結した。

試験水の採取

滅菌蒸留水 : 0、6、12、24 及び 48 時間後 (各時間 2 連)

河川水 : 0、1、2、3 及び 5 時間後 (各時間 2 連)

試験水の分析

有機トラップ 及びアルカリトラップ の分析

試験結果：

1) 試験期間中の物質収支

処理放射能との比較に基づいた回収率（有機画分、水画分、有機トラップ及びアルカリトラップの合計）は、滅菌蒸留水光照射区で 92.3～100.0%、滅菌蒸留水暗所区で 95.7～99.1%、河川水光照射区で 93.4～101.2%、河川水暗所区で 98.5～101.2%であり、試験期間中 ^{14}C の損失はなかった。

2) 滅菌蒸留水中での光分解

滅菌蒸留水中の ^{14}C の分布を表 1 に、
の消長を図 1 に示した。

図 1 の滅菌蒸留水中光分解（原報告書 図 1）

表1 滅菌蒸留水中の¹⁴Cの分布（原報告書 表2～3より抜粋）

数値は処理放射能に対する%

·光照射区

・暗所区

NA：該当なし

3) 河川水中での光分解

河川水中の ^{14}C の分布を表 2 に、
の消長を図 2 に示した。

図 2 D3598 の河川水中光分解 (原報告書 図 2)

表2 河川水中の¹⁴Cの分布（原報告書 表4～5より抜粋）

数値は処理放射能に対する%

·光照射区

・暗所区

NA：該当なし

4) 水中光分解のまとめ

を 1 ppm の濃度で滅菌蒸留水及び河川水に処理し、人工光による分解性を調べた結果、以下の半減期で分解した。

試験水	光照射区	北緯 35° 春の太陽光換算	暗所区
滅菌蒸留水			
河川水			

申請者注) 太陽換算は申請者が 4.551 を乗じて算出した。

推定分解経路を図 3 に示した。

図 3 の推定水中光分解経路 (原報告書 図 26)

(3) pH5 減菌緩衝液における水中光分解

(資料 No. 参考資料-2)

試験機関 : Ricerca, Inc. (GLP 対応)

報告書作成年 : 1997 年

申請者注) 加水分解試験(資料 No. 参考資料-1)において米国環境保護庁(US/EPA)ガイドライン条件 pH5、7 及び 9 のうち最も安定であった pH5 緩衝液中の光分解試験を実施した。
本試験は、資料 No. M-17 の参考資料として提出した。

供試標識化合物 : 以下の ^{14}C 標識化合物を供試した。

名称	構造式	比放射能	放射化学的純度
D2341		4.2 MBq/mg	

化学名 : Isopropyl 2-(4-methoxybiphenyl-3-yl)hydrazinoformate

供試水 : 0.01M 酢酸滅菌緩衝液 (pH5)

光源 : AM1 フィルタ-装着 7000W キセノンア-ランプ

試験方法 :

試験溶液の調製

ガラス製の試料瓶にオ-トクレ-フ^{*} 減菌した 0.01M 酢酸緩衝液 (pH5) 10mLを入れ、 D2341

アセトニトリル溶液 (10 μg D2341/50 μL アセトニトリル) を 1 $\mu\text{g}/\text{mL}$ *濃度となるように 50 μL を加えた。

*:D2341 の水溶解度は 20°C で 3.76 $\mu\text{g}/\text{mL}$ であり、試験は水溶解度の 1/2 未満で実施された。

光照射試料及び暗所対照試料

光照射試料は、上部に石英円盤を置いて密封し、キセノンランプ下の水浴 (25°C) 中に置いた。

光照射は、明暗各 12 時間のサイクルで実施した。試験期間中、光源の安定性及び 250-400nm、 380-750nm の波長分布と強度をモニタ-し、自然太陽光 (Painesville, Ohio) の強度と同様であることを確認した。

暗所対照試料は、ネジ蓋で密封し、分析時点まで 25±1°C の暗所に保存した。

揮発性物質捕集用試料

揮発性有機化合物と二酸化炭素を捕集するため別途試験を実施した。緩衝液 (30mL) に

D2341 を同様に 30 μg 添加した (1 $\mu\text{g}/\text{mL}$)。上部に 2 個の穴をあけた石英円盤を置き、チューブ^{*}で小型ポンプに接続した。空気を吸引し、ドライアイドTM の乾燥カラム、3 連の揮発性有機化合物トラップ^{*}と 2 連の二酸化炭素トラップ^{*}に通過させた。揮発性有機化合物トラップ^{*}には 2 個のナック

ス TA™樹脂及びカーボントラップ 400™チューブ、二酸化炭素トラップは 1N 水酸化ナトリウム(50mL)を用いた。

試料の採取間隔及び分析

光照射区試料：0、0.75、1.5、2.25、3、4、6.1、9、12、24、27.9、36、36.6、53.8、77.9 及び 149.8 時間。

暗所区試料：0、0.75、1.5、2.25、3、4、6.8、9、12、28.5、36、54、78 及び 150 時間
各試料は pH 測定、液体シンチレーションカウンタ (LSC) による放射能測定及び高速液体クロマトグラフィー (HPLC) による化合物の定性定量分析を実施した。

半減期の計算

線形最小二乗法を用いて D2341 の分解回帰式及び速度定数を計算し、50% 分解期間 (DT_{50}) 及び 90% 分解期間 (DT_{90}) を求めた。

試験結果：

1) 物質収支

各分析時点の平均 ^{14}C 回収率 (0 時点回収 ^{14}C に対する比率) は、光照射試料で 96.6%、暗所対照試料で 99.1% であり、試験期間中 ^{14}C の損失はなかった (原報告書 Table I 及び II)。二酸化炭素トラップには、光照射試料で 4.0%*、暗所対照試料で 1.15% の ^{14}C が検出されたが、揮発性有機化合物トラップには、いずれの試料からも ^{14}C は検出されなかった。

*申請者注) 原報告書 Table II Sample S12 を申請者が以下のように計算して記載した。

$$(0.931 - 0.889) \div 1.038 \text{ (0hr 濃度)} \times 100 = 4.0$$

2) HPLC 回収率

各試料の HPLC 回収率 (注入 ^{14}C に対する回収率) は、光照射試料で 96.1%、暗所対照試料で 98.2% であった。

3) 暗所対照試料における ^{14}C の分布

暗所対照試料中の ^{14}C 分布を表 1 に示した。

暗所対照試料中では、D2341 (記号 A) は 78 時間後まで徐々に分解した。初期分解物は
であり、78 時間後に最高の に達した。
が 28.5 時間以降徐々に増加した。

4) 光照射試料における ^{14}C の分布

光照射試料中の ^{14}C の分布を表 2 に示した。

光照射により、D2341(記号 A)は速やかに分解した。初期分解物は
36 時間後に最高に達した。10%以上生成した分解物は、
であった。

であり、

表 1 暗所対照試料中の ^{14}C の分布 (原報告書 Table VI)

申請者注: 2 連で示されたデータについては、申請者が計算し、その値を表に示した。

時間(hr)	D2341(記号 A) %					
0	96.2					
0.75	96.7					
1.5	93.4					
2.25	93.0					
3	90.9					
4*	68.6					
6.8	86.5					
9	84.9					
12*	74.7					
28.5	68.6					
36	63.1					
54	51.2					
78	20.8					
150	ND					

ND: 検出せず

表 2 光照射試料中の ^{14}C の分布 (原報告書 Table VI)

申請者注: 2 連で示されたデータについては、申請者が計算し、その値を表に示した。

時間(hr)	D2341 (記号 A) %					
0	97.7					
0.75	92.0					
1.5	93.4					
2.25	86.3					
3	84.0					
4	77.0					
6.1	75.0					
9	63.4					
12*	36.3					
24	36.4					
27.9*	3.4					
36	21.0					
36.6	21.7					
53.8	ND					
77.9	ND					
149.8	ND					

ND: 検出せず

5) 分解速度

暗所対照区と光照射区におけるD2341比率(%)の減衰を図1に示した。

回帰式より計算したD2341のDT₅₀及びDT₉₀を表3に示した。

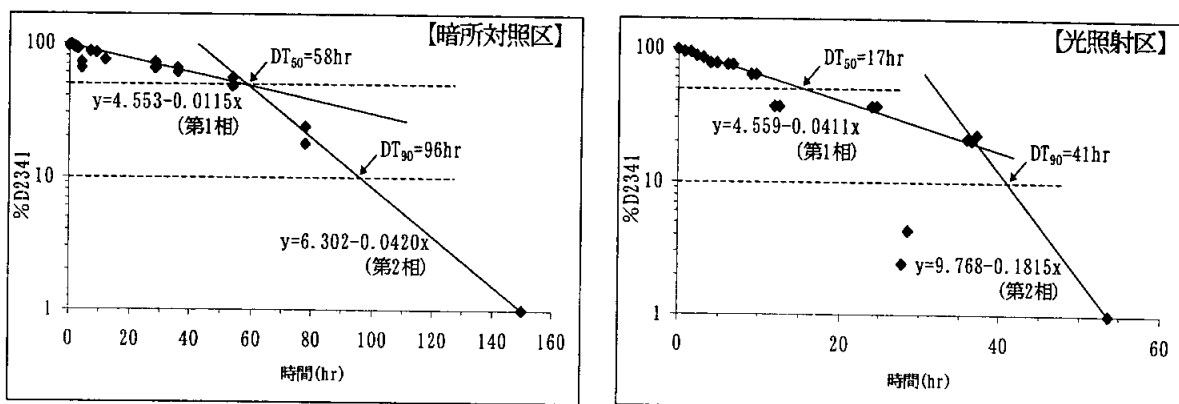


図1 D2341の線形回帰分析(原報告書Figure17及び18)

表3 D2341の回帰分析結果(原報告書39頁)

	DT ₅₀	DT ₉₀	相関係数(R ²) ¹	連結時間 ²
光照射区	17時間(0.7日)	41時間(1.7日)	0.998	36時間
暗所対照区	58時間(2.4日)	96時間(4.0日)	0.997	57時間

¹両相に適合する直線の全体の相関係数

²両相の線が交差する時間

6) 分解経路

推定分解経路を図2に示した。

図 2 D2341 の pH5 緩衝液中推定光分解経路 (原報告書 Figure26)

(4) 自然水及び pH7 減菌緩衝液における水中光分解

(資料 No. 参考資料-3)

試験機関 : Ricerca, Inc. (GLP 対応)

報告書作成年 : 1998 年

申請者注) 本試験は米国の河川水及び pH7 減菌緩衝液を供試水として実施され、資料 No. M-17 の参考資料として提出された。

供試標識化合物：以下の ^{14}C 標識化合物を供試した。

名称	構造式	比放射能	放射化学的純度
D2341		4.1 MBq/mg	

化学名 : Isopropyl 2-(4-methoxybiphenyl-3-yl)hydrazinoformate

供試水 : 河川水 ; Grand 川 (オハイオ州) にて採水し、フィルタ-滅菌 (pH7.0、滅菌後)
緩衝液 ; リン酸滅菌緩衝液 (pH7) 、フィルタ-滅菌

光源 : AM1 フィルタ-装着 7000W キセノン-ランプ[®]

試験方法 :

試験溶液の調製

(一) ガラス試料瓶に入った 10mL の供試水に、D2341 アセトニトリル溶液 (10 μg D2341/50 μL アセトニトリル) 50 μL を加え、1 $\mu\text{g}/\text{mL}$ となるように溶解した。試験は D2341 の水溶解度 3.76 $\mu\text{g}/\text{mL}$ (20°C) の 1/2 以下で実施された。

光照射試料及び暗所対照試料

光照射試料は、上部に石英円盤を置いて密封し、キセノンランプ下の水浴 (25°C) 中に置いた。光照射は連続的を行い、光源の安定性及び 250-400nm、380-750nm の波長分布と強度をモニタ-して、自然太陽光 (Painesville, Ohio) の強度と同様であることを確認した。

暗所区試料は、ネジ蓋で密封し、分析時点まで 25±1°C の暗所に保存した。

揮発性物質捕集用試料

揮発性有機化合物と二酸化炭素を捕集するため別途試験を実施した。試料瓶に緩衝液 30mL を入れ、D2341 アセトニトリル溶液 150 μL (D2341 として 30 μg) を添加した (D2341 濃度 1 $\mu\text{g}/\text{mL}$)。上部に 2 個の穴を開いた石英円盤を置き、チューブで小型ポンプに接続した。空気を吸引し、ドライアイライト™ の乾燥カラム、2 連の揮発性有機化合物トラップ及び 2 連の二酸化炭素トラップ

プに通過させた。揮発性有機化合物トラップはカーボトラップTM 400 チューブを、二酸化炭素トラップには1N水酸化ナトリウム(50mL)を用いた。

試料の採取及び分析

光照射試料及び暗所試料は共に、0、20、40分と1.0、1.5、2.0、4.0、6.0、9.0及び12.0時間に採取した。採取した試料はpH測定、液体シンチレーションカウンタ(LSC)測定(ガラス容器のアセトニトリル洗浄液含む)及び高速液体クロマトグラフィー(HPLC)分析を実施した。以下に、HPLC条件を示した。

半減期の計算

非線形最小二乗法を用いてD2341及びの50%分解期間(DT_{50})及びD2341の90%分解期間(DT_{90})を計算した。

試験結果：

1) 試験期間中の物質収支

各分析時点の平均¹⁴C回収率(0時点回収¹⁴Cに対する比率)は、自然水の暗所及び試料光照射試料でそれぞれ98.9%及び97.6%(原報告書Table I及びII)、緩衝液でそれぞれ100.1%及び99.5%(原報告書Table III及びIV)であり、試験期間中¹⁴Cの損失はなかった。

2) HPLC回収率(原報告書Table V及びVI)

各試料のHPLC回収率(注入¹⁴Cに対する回収率)の平均は、自然水の暗所試料及び光照射試料でそれぞれ96.7%及び92.6%、緩衝液でそれぞれ97.4%及び96.6%であった。

3) 自然水中におけるD2341の分解

自然水中におけるD2341の分解を図1及び表1に示した。

光照射によりD2341は速やかに分解し、2時間で約10%、最終12時間で1%以下となった。

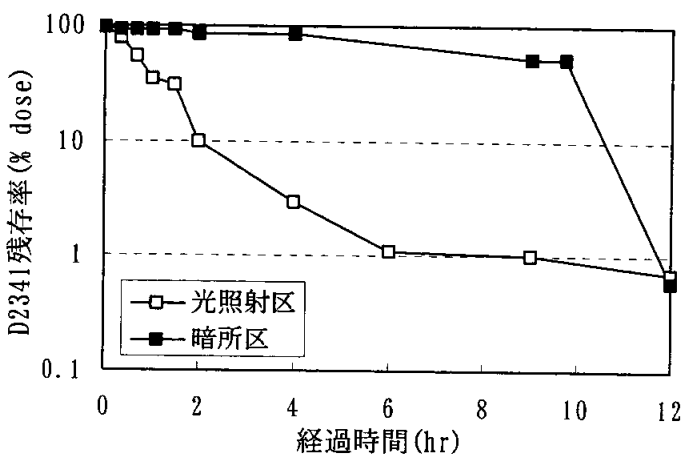


図1 自然水中におけるD2341の分解 申請者注) 本図は申請者が作成した

表1 D2341の自然水中光分解 (原報告書Table VII及びIXを合わせて表示した)

	時間 (hr)	D2341 (記号A) %							
暗所区	0	95.5							
	0.33	93.4							
	0.67	93.4							
	1.0	92.0							
	1.5	91.2							
	2.0	85.5							
	4.0	86.0							
	6.0*	21.1							
	9.0	52.1							
	9.75	52.4							
照射区	0	94.2							
	0.33	77.1							
	0.67	55.1							
	1.0	35.1							
	1.5	30.9							
	2.0	9.9							
	4.0	2.9							
	6.0	1.1							
	9.0 ³	1.0							
	12.0	0.7							

ND: 検出せず

4) pH7 滅菌緩衝液中における D2341 の分解

緩衝液中における D2341 の分解を図 2 及び表 2 に示した。

9 時間までは、光照射区及び暗所区の分解は類似していたが、12 時間では光照射区で分解が進行した。

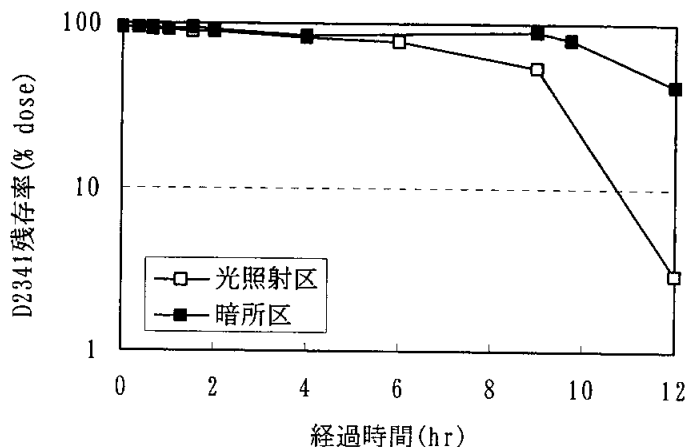


図 2 緩衝液中における D2341 の分解 申請者注) 本図は申請者が作成した

表 2 D2341 の緩衝液中光分解 (原報告書 Table VIII 及び X を合わせて表示した)

	時間 (hr)	D2341 (記号 A) %							
暗所区	0	94.0							
	0.33	94.0							
	0.67	94.3							
	1.0	92.9							
	1.5	93.4							
	2.0	92.1							
	4.0	84.3							
	6.0	90.2							
	9.42 ³	79.6							
	12.0	41.6							
照射区	0	93.9							
	0.33	93.6							
	0.67	92.2							
	1.0	91.0							
	1.5	88.4							
	2.0	90.1							
	4.0	82.6							
	6.0	78.2							
	9.0	54.4							
	12.0 ³	2.9							

ND : 検出せず

5) 分解速度

D2341 の DT₅₀、DT₉₀ 及び分解物 の DT₅₀ を表 3 に示した。

表 3 D2341 の DT₅₀、DT₉₀ 及び分解物 の DT₅₀ 計算値 (原報告書 39 及び 40 頁より抜粋)

		D2341		
		DT ₅₀	DT ₉₀	
自然水	光照射	0.7 時間	2.5 時間	
	暗所対照	9.9 時間	11.7 時間	
緩衝液	光照射	9.8 時間	11.8 時間	
	暗所対照	11.8 時間	—*	

* 最終分析時点で 40%の残存であったため、DT₉₀ は評価されなかった。

6) 分解経路

光分解は、自然水中における D2341 (記号 A) の主要な分解要因であり、自然水中には、D2341 の分解を加速する光増感物質が含まれると考えられた。

推定分解経路を図 3 に示した。

図 3 D2341 の推定水中光分解経路 (原報告書 Figure 29)

5. 土壌吸着性試験

(1) 代謝分解物

の土壌吸脱着 (日本土壤)

(資料 No. M-20)

試験機関：日産化学工業(株)

報告書作成年：1999年

申請者注) D2341 (記号 A) 及びその主要代謝物

は土壤中では半減期がそれぞれ

0.5 時間以内及び 7.3~8.0 時間と速やかに分解した (資料 No. M-12 及び M-13)。よってこれらの化合物の土壤吸着試験の実施は困難と考え、土壤中で比較的安定な主要代謝物

について土壤吸着試験を実施した。

供試標識化合物：以下の ^{14}C 標識化合物を供試した。

名称	構造式	比放射能	放射化学的純度

化学名：

供試土壤：(社) 日本植物防疫協会より購入した国内 4 種の 2mm 篩済み畑地土壤を供試した。

土壤は、使用時まで 4°C 以下の冷蔵庫で保存した。

各土壤の特性を以下に示した (原報告書 9 ページ)。

土壤名 (OECD タイプ)	牛久土壤 (2)	愛知土壤 (5)	熊本土壤 (3)	宮崎土壤 (5)
採取地	日植防牛久 圃場内畑地	愛知県 農総試内畑地	植調熊本 試験地内畑地	日植防宮崎 試験農場内畑地
土壤群名 (火山灰土壤)	淡色黒ぼく土 (○)	灰色台地土 (×)	表面多腐食質 黒ぼく土 (○)	砂丘未熟土 (×)
土性*	重埴土	砂質埴壤土	シルト質埴壤土	壤質砂土
砂含量 (%)	24.8	68.0	30.6	86.0
シルト含量 (%)	27.5	14.5	49.7	7.1
粘土含量 (%)	47.7	17.5	19.7	6.9
有機炭素含量 (%)	3.33	1.11	12.99	1.50
pH (H_2O) **	7.0	6.6	7.4	5.9
pH (KCl) **	6.2	6.0	6.7	5.3
陽イオン交換容量 (meq/100g)	29.8	7.9	49.9	9.7
リン酸吸収係数 ($\text{P}_2\text{O}_5 \text{mg}/100\text{g}$)	2200	290	1850	1030
粘土鉱物の種類	アロフェン バーミキュライト	カオリーン鉱物 ライサイト	アロフェン バーミキュライト	アロサイト
水分含量 (%)	12.6	4.0	1.8	11.2

* 粒径区分は国際土壤学会法による

** 牛久及び宮崎土壤は 1 : 2.5、愛知及び熊本土壤は 1 : 1 での値

申請者注) OECD 土壤タイプは OECD 106 (2000 年) を基に、火山灰土壤は協会に確認して記載した。

試験方法：準拠ガイドライン；OECD 106 吸着／脱着

平衡化時間の測定及び安定性試験

を $0.01\text{M}\text{CaCl}_2$ 水溶液に $0.5\mu\text{g}/\text{mL}$ の濃度で溶解し処理液とした。50mL 容ガラス製栓付遠沈管に乾土換算 5.0g の土壤を入れ、蒸留水 5.0mL を加えて 25°C 下 24 時間再平衡化した。処理液 20mL を再平衡化した土壤に加え、 25°C の暗所で 2、4、8、24 及び 48 時間振とうした（各土壤 2 連）。遠心分離後、水相中放射能を LSC により測定した。

吸着平衡時の 安定性をみるため、平衡に達した試料の水相中及び土壤中放射能に対する 割合を調べた。水相は酢酸エチル抽出後、土壤はアセトトリル抽出後濃縮し、TLC 分析に供した。又、抽出残渣中放射能は燃焼法により測定した。TLC 条件を以下に示した。

TLC 条件：

シリカゲルプレート；Kieselgel 60F254、 $20 \times 20\text{cm}$ 、 0.25mm 厚

展開溶媒；ヘキサン/酢酸エチル ($9/1$ 、v/v) 及びヘキサン/ジクロロメタン ($1/1$ 、v/v)

吸着試験

を $0.01\text{M}\text{CaCl}_2$ 水溶液に 1.0 、 0.5 、 0.2 、 0.1 及び $0.01\mu\text{g}/\text{mL}$ の濃度に溶解し、処理液とした。処理液 20mL をガラス製栓付遠沈管に入った 5.0g の再平衡化土壤に加え、 25°C の暗所で吸着平衡に達する時間振とうした（各土壤 2 連）。遠心分離後、水相中放射能を LSC により測定した。土壤吸着量は、 添加量から水相中の 量を減じて算出した。

同時に、土壤なしのコントロール試験（滅菌蒸留水 $5\text{mL} + 0.5\mu\text{g}/\text{mL}$ 処理液 20mL ）を実施した。コントロール試験結果より、 の土壤吸着量を補正した。

脱着試験

水相分取後の遠沈管に、等量の $0.01\text{M}\text{CaCl}_2$ 溶液を加え、平衡化時間と同時間暗所で振とうした。遠心分離後、水相中放射能を LSC により測定した。脱着操作は 2 回行った。

^{14}C -マスバランス

脱着試験後の土壤中放射能を、燃焼法により測定した。得られた土壤中放射能と、吸着及び脱着試験で得られた水相中の放射能から ^{14}C の回収を調べた。

吸着係数及び脱着率の算出

吸着係数及び脱着率は、OECD ガイドライン記載の式に準拠して算出した。

吸着係数

水相中濃度 C_w ($\mu\text{g}/\text{mL}$) = 水相中放射能濃度 (dpm/mL) / 比放射能 ($\text{dpm}/\mu\text{g}$)

土壤中濃度 C_s ($\mu\text{g}/\text{g}$) は、次式より求めた。

$$C_s = (G - C_w \cdot V_0) / m \quad G : 土壤なしコントロールで回収された量 (\mu\text{g}),$$

V_0 : 吸着試験開始時の溶液量 (mL 、水比重= $1\text{g}/\text{mL}$)、

m : 土壤の乾燥重量 (g)

吸着率 A は、次式より求めた。

$$A = 100 * [(G - C_w \cdot V_0) / G]$$

吸着係数 K 及び K_{oc} は、次式より求めた。

$$K = C_s / C_w$$

$$K'_{OC} = 100 * (K'/OC) \quad OC : 土壌有機炭素含量(%)$$

吸着係数 K は、フロントリッヒ吸着等温式から求めた。

$$\log C_s = \log K + (1/n) * \log C_w$$

吸着係数 K_{OC} は K'_{OC} と同様に算出した。

$$K_{OC} = 100 * (K/OC)$$

土壤吸着平衡定数 K_{OC}^{α} は、吸着係数 (K) と土壤有機物含量 (OC) の一次相関をとりその勾配として算出した。

脱着率

脱着率 D は、次式より求めた。

$$D = 100 * [(C_1 + C_2) * V - (V_0 - V) * C_w] / (G - C_w * V_0) \quad C_1 : 脱着第1回目の水相中濃度(\mu g/mL),$$

$$C_2 : 脱着第2回目の水相中濃度(\mu g/mL),$$

$$V : 吸着後に分取した水相の量(mL)$$

吸着されなかった の割合 R は、次式より求めた。

$$R = 100 - D$$

移動性の判定

次の基準により移動性を判定した（原報告書 表 8）。

おおよその K_{OC}	移動性分類
0-50	極高移動性
50-150	高移動性
150-500	中移動性
500-2000	低移動性
2000-5000	微移動性
>5000	非移動性

出典：R. L. Swan, D. Laskowski, P. J. McCall, K. Vander Kuy and H. J. Dishburger (Residue Reviews, Volume 85, Page 23, 1983)

試験結果：

1) 吸着平衡化時間

振とう 2、4、8、24 及び 48 時間後の水相中
相中 濃度推移を図 1 に示した。

濃度とその変化率を表 1 に、水

愛知土壌では振とう 48 時間後にその変化率が 10% 以内となったが、それ以外の土壌では変化率が 10% を上回った。従って、吸着平衡化時間は 48 時間とした。

表 1 水相中

濃度とその変化率 (原報告書 表 1 より抜粋)

土壌	振とう時間 (hr)	水相中 濃度* ($\mu\text{g/mL}$)	変化率** (%)
牛久土壌	2	0.01963	NA
	4	0.01678	14.5
	8	0.01311	21.9
	24	0.00881	32.8
	48	0.0787	10.6
愛知土壌	2	0.06015	NA
	4	0.05672	5.7
	8	0.05218	8.0
	24	0.04448	14.8
	48	0.04067	8.6
熊本土壌	2	0.00386	NA
	4	0.00294	23.8
	8	0.00201	31.7
	24	0.00115	42.8
	48	0.00100	12.7
宮崎土壌	2	0.06060	NA
	4	0.05508	9.1
	8	0.04333	21.3
	24	0.03032	30.0
	48	0.02428	18.1

NA：適用なし

* 2 連平均

** 変化率 (%) = $100 * [(n-1 \text{ 回時の濃度}) - (n \text{ 回時の濃度})] / (n-1 \text{ 回時の濃度})$

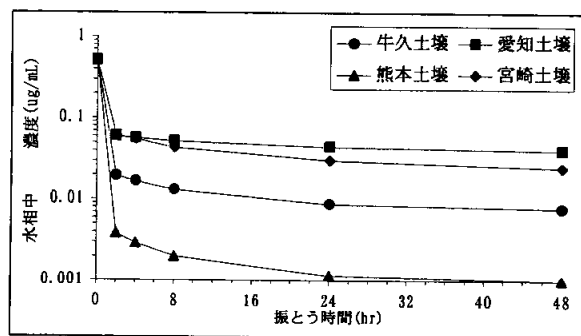


図 1 水相中

濃度推移 (原報告書 図 2)

2) 吸着平衡時の 安定性

48時間の吸着平衡化時において、水相の有機画分中放射能の93.6~97.3%が であった。又、土壤の抽出液中放射能の98.2~99.2%が であった。全試料において、の回収率は処理量の85.7~97.7%であり、吸着平衡化時の水相中及び土壤中の 安定性が示された（原報告書 表2~3）。

3) 吸着試験

牛久土壤と熊本土壤の0.01μg/mL標準溶液添加においては、水相中放射能が検出限界以下であったため土壤中濃度や吸着係数などは計算できなかった。の吸着率は極めて大きく、4土壤において87.2~99.8%であった（原報告書 表4）。従って、は土壤に極めて吸着しやすいことが示された。 K' 、 K'_{OC} は、熊本土壤、牛久土壤、宮崎土壤、愛知土壤の順で大きかった（ $K'=36\sim2349$ 及び $K'_{OC}=3216\sim18085$ 、原報告書 表4）。

の水相中濃度と土壤中濃度の対数よりプロットの吸着等温線を作成し、図2に示した。全土壤において直線関係が得られ、相関係数 r^2 は0.982~0.999であった。直線の傾きと切片から、吸着指数（1/n）及び吸着係数（K、 K_{OC} ）を求め、表2に示した。

表2 の吸着パラメータ（原報告書 表5）

	牛久土壤	愛知土壤	熊本土壤	宮崎土壤
吸着指数（1/n）	0.800	0.884	1.039	0.875
吸着係数（K）	101	31	2518	53
吸着係数（ K_{OC} ）	3033	2793	19384	3533

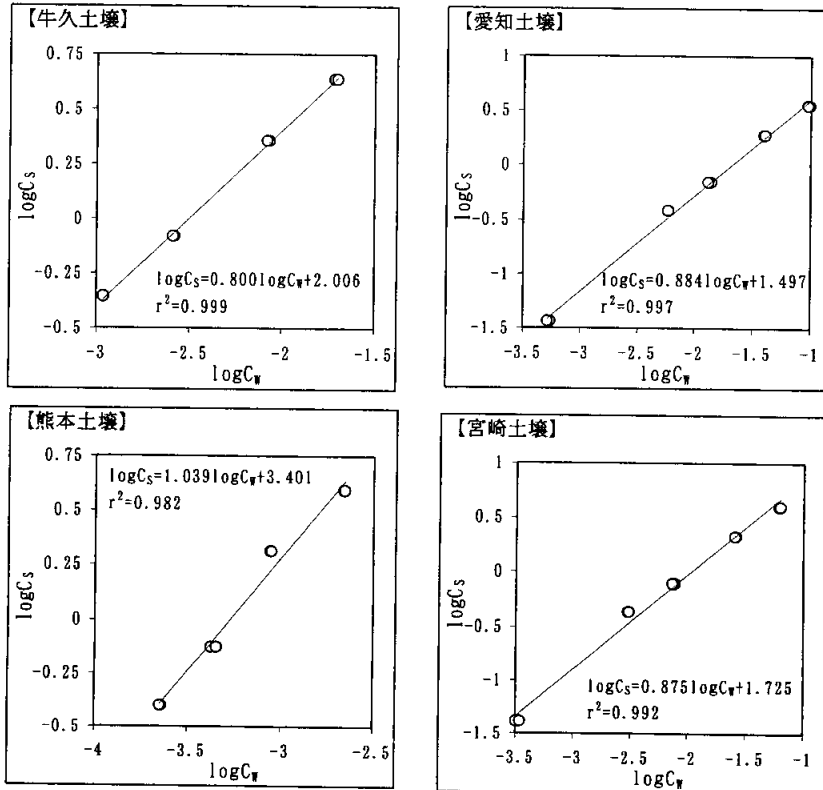


図2 の吸着等温線（原報告書 図3）

プロイントリッヒの吸着等温線から算出した吸着係数 (K) を土壤有機炭素含量 (OC%) に対しプロットし、得られた傾きから土壤吸着平衡定数 (K_{OC}^a) を算出した。その結果、 K_{OC}^a は 21731 であり、この時の相関係数 r は 0.989 であった。

4) 土壤からの脱着

脱着試験後の土壤から脱着された の割合を表 3 に示した。

牛久土壤の $0.01\mu\text{g/mL}$ 、熊本土壤の $0.01\mu\text{g/mL}$ と $0.1\mu\text{g/mL}$ 及び宮崎土壤の $0.01\mu\text{g/mL}$ 標準溶液添加試料では、脱着試験後の水相中放射能が検出限界以下であった。全試料においても脱着された の割合は $0.2\sim15.4\%$ でしかなく、脱着されにくくことが示された。最も脱着されにくかったのは熊本土壤であり、脱着された の割合は 0.3% を超えることはなかった。次いで、牛久土壤、宮崎土壤、愛知土壤の順で脱着されにくく、これは吸着されやすい傾向と一致した。

表 3 脱着された の割合 (原報告書 表 6)

申請者注：2 連で示されたデータについては、申請者が平均値を計算して表に示した。

標準溶液濃度 ($\mu\text{g/mL}$)	牛久土壤 %	愛知土壤 %	熊本土壤 %	宮崎土壤 %
0.01	<2.7	6.6	<2.9	<3.1
0.1	1.5	8.5	<0.2	3.6
0.19	2.1	11.6	0.2	4.6
0.53	3.2	11.3	0.2	6.0
1.01	3.0	15.1	0.2	7.9

5) ^{14}C -マスバランス

吸着試験及び脱着試験における水相中の放射能と脱着試験後の土壤中放射能の合計から、 ^{14}C の回収を求めた。その結果、宮崎土壤の $0.01\mu\text{g/mL}$ 標準溶液添加試料の 86.2% を除いて、他の試料で 91.9% 以上の回収が得られた (原報告書 表 7)。

6) 土壤吸脱着のまとめ

の 4 土壤に対する吸着試験の結果、吸着係数 K は $31\sim2518$ 、 K_{OC}^a は $2793\sim19384$ であった。各土壤における吸着係数 K を土壤有機炭素含量 OC に対しプロットした傾きから得られた土壤吸着平衡定数 K_{OC}^a は 21731 であった。この値は移動性分類の非移動性であり、は極めて移動性が小さいことが示された。又、脱着試験において、脱着されたは $0.2\sim15.4\%$ であり、の土壤からの脱着は小さいことが示された。

(2) 代謝分解物

の土壤吸脱着(米国土壤)

(資料 No. 参考資料-4)

試験機関 : Ricerca, Inc. (GLP 対応)

報告書作成年 : 1997 年

申請者注) 代謝分解物
参考資料-4 として提出した。

の土壤吸脱着試験は米国土壤においても試験したので、

供試標識化合物 : 以下の ^{14}C 標識化合物を供試した。

名称	構造式	比放射能	放射化学的純度

化学名 :

供試土壤: 4 種類の農業用土壤と 1 種類の底質(いずれも米国土壤)を供試した。砂壤土(EFS062)は好気性土壤代謝試験(資料 No. 13)の供試土壤、底質(EFS071)は嫌気湛水土壤代謝試験(資料 No. 15)の供試土壤と同一土壤である。

土壤は、採取後 2mm の篩に通し、試験使用時まで冷蔵庫に保存した。米国農務省(USDA)の分類に従った土壤の分析結果、含水率及び微生物活性を以下に示した(原報告書 Table I)。

土壤コド名(OECD タイプ ^o)	EFS020 (3)	EFS026 (5)	EFS037 (4)	EFS062 (5)	EFS071 (2)*
採取地	Concord, OH	Madera, CA	Saybrook, OH	Madison, OH	Montville, OH
pH	5.7	6.3	5.8	6.8	6.6
陽イオン交換容量(meq/100g)	11.63	2.92	13.32	6.52	14.56
有機物含量(%)	3.68	0.27	3.35	1.73	6.85
容水量、1/3 バル(%)	34.07	5.90	31.7	9.73	31.05
容水量、15 バル(%)	8.35	1.47	8.89	3.34	15.49
砂含量(%)	15.2	69.2	13.2	75.2	34.8
シルト含量(%)	58.0	26.0	56.0	18.0	40.4
粘土含量(%)	26.8	4.8	30.8	6.8	24.8
土性	沙質壤土	砂壤土	沙質埴壤土	砂壤土	壤土
土壤密度(g/cc)	1.24	1.81	1.17	1.50	1.15
含水率(%)	17.3	1.6	18.8	1.6	120.0
微生物活性、細菌(CFU/g)	7.3×10^7	8.1×10^7	1.14×10^8	8.2×10^7	8.8×10^7
微生物活性、糸状菌(CFU/g)	8.4×10^5	6.4×10^5	5.9×10^6	2.0×10^5	5.4×10^5

*EFS071 は底質

申請者注) OECD 土壤タイプ^oは OECD 106 (2000 年)を基に記載した。

試験方法：

試験溶液の安定性

土壌を含まない滅菌バイアル瓶中に試験溶液を入れ、25±2°Cの暗所に保存した。7日後、HPLC分析により¹⁴Cの分布を測定した。

溶解度

土壌を含まないガラス製試験管中で、0.027から2.052μg/mLの濃度範囲での0.01M CaCl₂溶液試料を調製した。攪拌、遠心分離後、上清を液体シチレーショングランジンカウント(LSC)分析した。

ガラスへの吸着

土壌を含まないガラス製試験管中で、0.016から2.22μg/mLの濃度範囲の試料溶液を調製した。25±2°Cで2、22、72及び96時間振とうし、LSC分析した。

平衡化時間の測定及び安定性試験

を0.01M CaCl₂溶液に溶解し、1.0μg/mLの濃度に調製した。この7mLをシリカ化済みのガラス製ねじ口試験管に入った乾土換算1gの土壌に加え、25±2°Cの暗所で2、6、24及び48時間振とうした。遠心分離後、水相中放射能をLSCにより測定した。

吸着試験

脱着試験

結合体残留物

K_fとK_{oc}の計算

C_f=水相中の被験物質の濃度(μg/mL)

C_a=土壌に吸着した被験物質の濃度(μg/g土壌)

C_fとC_aの値をフロイドリッヒ式に適用した。

$$C_a = K_f \times C_f^{1/n}$$

$$\log(C_a) = \log(K_f) + 1/n \times \log(C_f)$$

土壌吸着定数は次のように定義される。

$$K_{oc} = 100 \times K_f / \text{有機炭素含量\%} \quad (\text{有機炭素含量\%} = \text{有機物含量\%} \times 0.58)$$

移動性の判定

次の基準により移動性を判定した（原報告書 Table VII）。

K_{OC}	移動性分類
0-50	極高移動性
50-150	高移動性
150-500	中移動性
500-2000	低移動性
2000-5000	微移動性
>5000	非移動性

出典：R. L. Swan, D. Laskowski, P. J. McCall, K. Vander Kuy and H. J. Dishburger (Residue Reviews, Volume 85, Page 23, 1983)

試験結果：

1) 試験溶液の安定性

25±2°Cの暗所下で7日間保存した後の試験溶液の放射化学的純度は99.5%であり、実験条件下での被験物質の安定性が確認された。

2) 溶解度

0.027から2.052μg/mLの試験溶液について、溶液中の被験物質の実測濃度は初期濃度の少なくとも95%であった。

3) ガラスへの吸着

25±2°Cで72時間後における試験溶液中の¹⁴C回収率は、濃度に依存せず、平均で処理量の93%であった。

4) 試験系中での の安定性 (処理濃度 2ppm)

吸着試験における24時間振とう後の水相では、 の純度は91.2%～98.0%であった。

2回脱着後の水相中の純度は、底質EFS071を除き、85%を超えていた。土壌のセトニトリル抽出液中の純度は、底質EFS071では86.2%、その他は94%以上であった。

以上より、試験系中での は安定であると判断された（原報告書 Table II）。

5) 平衡化時間の測定

平衡実験で得られたデータを数学的に解析し、0.62から9.35時間の平衡化時間が算出された。その結果を表1に示した。当試験では、平衡化時間として24時間を探用した。

表1 平衡化時間の測定（原報告書 Table III）

数値は水相中濃度 (dpm/mL)、カッコ内は吸着%、2連の平均

土壌	振とう時間					
	0	2	6	24	30	48
EFS020	103,732 (0.00)	NA	9,962 (90.40)	7,788 (92.49)	NA	7,306 (92.96)
EFS026	103,732 (0.00)	NA	63,310 (38.97)	63,981 (38.32)	NA	62,978 (39.29)
EFS037	102,450 (0.00)	11,790 (88.49)	9,358 (90.87)	7,980 (92.21)	7,673 (92.51)	7,140 (93.03)
EFS062	103,732 (0.00)	NA	16,038 (84.54)	12,697 (87.76)	NA	11,019 (89.38)
EFS071	103,732 (0.00)	NA	5,609 (94.59)	3,498 (96.63)	NA	3,602 (96.53)

NA：適用なし

申請者注) 原報告書では数学的解析による計算上の平衡化濃度及び平衡化時間が記載されているが、省略した。

6) 物質収支

それぞれの被験物質濃度で各土壤に添加した ^{14}C の回収率を測定した結果、各土壤の平均の物質収支は施用 ^{14}C の 93% 以上であった（原報告書 Table IV）。

7) 土壤への吸着と土壤からの脱着

吸着及び脱着データをフロイントリッヒ式に適用したときの吸着係数 (K_f) 、傾き ($1/n$) 、相関係数 (r^2) 及び有機炭素吸着係数 (K_{oc}) 、有機炭素含量 (%OC) 、移動性分類を表 2 に示した。データ解析の相関係数は 0.9704 から 0.9996 の範囲であった。

K_f 値は、吸着：5～246、1 回目脱着：11～297、2 回目脱着：7～210 の範囲であった。

各土壤の吸着係数 (K_{oc}) は 3011～7453 の範囲にあった。

は試験した全ての土壤において微移動性から非移動性であることが示された。

表 2 フロイントリッヒ式適用パラメータ-及び吸着/脱着パラメータ-、移動性分類

(原報告書 Table V 及び Table VI)

土壤	相	$\log K_f$	$1/n$	r^2	K_f	K_{oc}	%OC	移動性分類
EFS020	吸着	1.9220	0.9563	0.9995	84	3905	2.14	微移動性
	1 回目脱着	2.0306	0.9976	0.9875	107	5014		非移動性
	2 回目脱着	1.9247	0.9033	0.9704	84	3929		微移動性
EFS026	吸着	0.6828	0.8960	0.9987	5	3011	0.16	微移動性
	1 回目脱着	1.0538	1.0036	0.9942	11	7074		非移動性
	2 回目脱着	0.8503	0.8984	0.9967	7	4428		微移動性
EFS037	吸着	1.8879	0.9308	0.9996	77	3962	1.95	微移動性
	1 回目脱着	2.0496	0.9834	0.9990	112	5749		非移動性
	2 回目脱着	1.9172	0.8918	0.9962	83	4238		微移動性
EFS062	吸着	1.5754	0.8459	0.9996	38	3725	1.01	微移動性
	1 回目脱着	1.7042	0.8453	0.9989	51	5010		非移動性
	2 回目脱着	1.7349	0.8548	0.9975	54	5377		非移動性
EFS071	吸着	2.3915	1.0278	0.9966	246	6189	3.98	非移動性
	1 回目脱着	2.4722	1.0653	0.9995	297	7453		非移動性
	2 回目脱着	2.3216	1.0331	0.9975	210	5269		非移動性

申請者注) フロイントリッヒ吸着平衡定数 (K_f) の土壤有機炭素含量 (OC) に対する一次関数をとり、その勾配を K_{oc} (土壤吸着平衡定数) としたときのパラメータ-を申請者が計算し下表に示した。

$$\begin{array}{|c|c|c|} \hline K_{oc}=6305 & a=-26.52 & r=0.972 \\ \hline \end{array}$$

a : 切片、 r : 相関係数

(3) 土壌カラム-チング 試験 (米国土壤)

(資料 No. M-21)

試験機関 : Ricerca, Inc. (GLP 対応)

報告書作成年 : 1997 年

供試標識化合物 : 以下の ^{14}C 標識化合物を供試した。

名称	構造式	比放射能	放射化学的純度
D2341		4.2MBq/mg	

化学名 : Isopropyl 2-(4-methoxybiphenyl-3-yl)hydrazinoformate

供試土壤 :

下記 4 種類の米国土壤を供試した。採取後、土壌は 2mm の篩に通し、試験使用時まで約 4°C に保存した。土壌の分析データ及び微生物活性を以下に示した (原報告書 Table I 及び II)。

	EFS020	EFS026	EFS037	EFS062
pH	5.7	6.3	5.8	6.8
陽イオン交換容量 (meq/100g)	11.63	2.92	13.32	6.52
有機物含量 (%)	3.68	0.27	3.35	1.73
容水量、1/3 パル (%)	34.07	5.90	31.7	9.73
容水量、15 パル (%)	8.35	1.47	8.89	3.34
砂含量 (%)	15.2	69.2	13.2	75.2
シルト含量 (%)	58.0	26.0	56.0	18.0
粘土含量 (%)	26.8	4.8	30.8	6.8
土性	シルト質壤土	砂壤土	シルト質埴壤土	砂壤土
土壌密度 (g/cc)	1.24	1.81	1.17	1.50
含水率 (%)	17.3	1.6	18.8	1.6
微生物活性、細菌 (CFU/g)	5.8×10^7	7.4×10^6	6.1×10^6	5.5×10^6
微生物活性、糸状菌 (CFU/g)	1.3×10^5	2.8×10^4	5.3×10^5	1.6×10^4

試験方法 :

土壌カラムの調製

試験土壌を入れた 4 種類の土壌カラムを調製した。土壌は、フリットガラスのフィルタと出口コック付きのガラス管に装着した内径 4.8cm のナイロン製のスリーブ管に入れた。それぞれ約 200g の土壌を加えた後、密に詰めるためにミサ-で振動させた。カラム中の土壌の高さは約 30cm であった。各土壌の約 30cm のカラム高さに要した土壌量を以下に示した。

土壌	EFS020	EFS026	EFS037	EFS062
土壌量 (g)	596.2	771.9	616.7	843.4

施用

土壌カラムを 0.01M CaCl_2 溶液で灌水した後、最上部に置いたガラスフィルターを除き、D2341
アセトニトリル溶液 (2mg/1.9mL) の $90\mu\text{l}$ (EFS026 と EFS062) 又は $91\mu\text{l}$ (EFS020 と EFS037) をカラム最上部の小湾入部に均一に施用した（施用量 $101.4\mu\text{g}$ *）。次いでガラスフィルターをカラム最上部に戻し、リーチング実験を開始した。

* D2341 の予定使用量は約 0.5 ポンド / I-カ- (560 g ai/ha) である。カラムの内径 4.8cm から、それぞれの土壌カラムに必要な被験物質の量は $101.4\mu\text{g}$ であった。

溶出液の採取及び分析

土壌カラムの分画及び分析

試験結果：

1) 物質収支

全ての土壤からみについて、施用放射能回収率を溶出液画分と分割円柱土壤試料中の放射能の合計から算出し、その結果を表1に示した。

個々の土壤からみの物質収支は、施用放射能の91.3%～103.8%の範囲であった。

溶出液；各溶出液中には施用放射能の1%未満が検出されたのみであった。

いずれの土壤からみにおいても全溶出液中の放射能は3%未満であったので、溶出液画分の代謝物分析は行わなかった。

分割円柱土壤；シルト質壤土(EFS020)、シルト質埴壤土(EFS037)及び砂壤土(EFS062)では、施用放射能の90%以上が上層部6cmから検出された。最も高い移動性を示した砂壤土(EFS026)では、施用放射能の76.3%が上層部6cmから検出された。6～12cmの分割円柱土壤試料は、土壤EFS-020と土壤EFS-026でそれぞれ7.1%及び11.1%を含有していた。

表1 各土壤からみの物質収支(原報告書Table III)

土壤名	数値は施用放射能に対する%			
	EFS020	EFS026	EFS037	EFS062
溶出液画分				
溶出液1 ^a	ND	<0.1	ND	ND
溶出液2 ^a	ND	0.2	ND	<0.1
溶出液3 ^a	<0.1	0.6	ND	<0.1
溶出液4 ^a	<0.1	0.6	ND	0.1
溶出液5 ^a	<0.1	0.8	0.1	0.1
溶出液合計	<0.1	2.2	0.1	0.2
土壤画分				
0-6cm	93.9	76.3	98.2	95.1
6-12cm	7.1	11.1	1.6	0.2
12-18cm	2.6	1.1	0.9	0.1
18-24cm	0.1	0.4	0.8	0.1
24-30cm	0.1	0.2	ND	<0.1
合計 ^b	103.8	91.3	101.6	95.7

^a1日約184mLの溶出液を採取した

^b溶出液画分と土壤画分の合計

ND：検出せず

2) 分割円柱土壤試料の抽出

施用放射能の5%を超える放射能を含有する分割円柱土壤試料について、抽出を行った結果を表2に示した。

表2 分割円柱土壌試料からの放射能の抽出（原報告書 Table IV）

土壤種類/分割画分		土壤中放射能量	OR1 ^a	OR2 ^b	結合体残留物
EFS020	0-6cm	93.9	45.5	1.6	46.8
	6-12cm	7.1	2.7	0.2	4.1
EFS026	0-6cm	76.3	25.7	2.0	48.5
	6-12cm	11.1	7.1	0.4	3.6
EFS037	0-6cm	98.2	60.1	1.8	36.3
EFS062	0-6cm	95.1	39.1	2.9	53.3

^aアセトニトリル／水抽出液、^bアセトニトリル／0.01N 塩酸抽出液

3) 土壤中代謝物の定量

分割円柱土壌試料の OR1 及び OR2 抽出液について、代謝物の定量を行った。その結果を表3に示した。

表3 土壤抽出液中の代謝物の分布（原報告書 Table V）

数値は施用放射能に対する%、カッコ内は 6インチ深の換算土壤中濃度 (ppm)

土壤種類/分割画分		D2341 (記号 A)			
EFS020	0-6cm	9.3 (0.025)			
	6-12cm	0.1 (0.000)			
EFS026	0-6cm	1.7 (0.004)			
	6-12cm	0.1 (0.000)			
EFS037	0-6cm	14.9 (0.039)			
EFS062	0-6cm	4.3 (0.009)			

各土壤からみの上層部 6cm 中の主要代謝物は

能の

1.7%～14.9%) 及び

であった。そのペルは施用放射

であった。その他に、未変化体 D2341 (記号 A,

が認められた。

各土壤からみの 6～12cm の分割円柱試料中に施用放射能の 0.1% を超えて検出された代謝物は
であった。

5) 土壤からみリーチング 試験のまとめ

D2341 は非移動性であり、その代謝物も土壤からみ中でほとんど移動性を示さなかった。

溶出液中には、施用放射能の最大 2.2% が存在するのみであった。放射能の多くは土壤からみの 0～6cm の部分に存在し、一部 6～12cm に移行した。

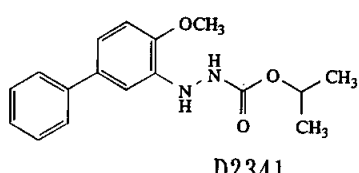
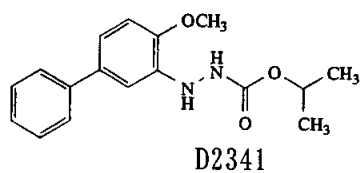
D2341 の土壤中でのリーチング 性は低いことが示唆された。

代謝分解のまとめ

D2341 の動物、植物、土壤等における代謝、分解、残留の要約は以下のとおりである。代謝分解経路を IX-178 頁に、代謝分解物の概要を IX-179 頁～IX-185 頁に示した。

D2341 の代謝分解試験は D2341 を用いて実施した。また、一部の試験には考察のため、標識 D2341 あるいは

を供試した。



動物（資料 No. M-1、M-2、M-3、M-4、M-5 及び M-6）：

D2341 及び D2341 をラットに低用量（10mg/kg）あるいは高用量（1000mg/kg）の割合で 1 回経口投与し、吸収、分布、代謝及び排泄について検討した。血漿、赤血球、脾臓等の組織内代謝物の分析は 200mg/kg 投与においても実施した。

低用量投与後の動態

吸収（資料 No. M-1）

D2341 を投与したとき、最高血漿中濃度到達時間（T_{max}）は投与後 5～6 時間、血漿中からの消失半減期（t_{1/2}）は、12～13 時間であった。尿中及び胆汁中排泄率より計算された吸収率は、79～85% であった。性差は認められなかった。

分布（資料 No. M-1、M-2 及び M-4）

D2341 を投与したとき、各組織で投与 6 時間後が最高濃度であり、特に肝臓、血液、腎臓が高かった。以後経時的に減少し、168 時間後の組織残留性は認められなかった。カルボニル標識体を投与したときも、同様に組織残留性は認められなかった。

代謝（資料 No. M-1、M-2、M-3、M-4 及び M-6）

親化合物 D2341（記号 A）はラット体内において速やかに代謝されることが示唆された。

排泄（資料 No. M-1、M-2 及び M-4）

D2341 を投与したとき、48 時間以内の総排泄量は 90% であり、速やかに体外排出された。168 時間後の体内残存率は、0.7% 未満でありほぼ完全に排泄された。主たる排泄経路は糞中であり、胆汁中排泄率約 70% より、胆汁を経由する糞中排泄が示唆された。

D2341 を投与したとき、48 時間以内に呼気中に 37% が排泄された。

高用量投与後の動態（資料 No. M-1、M-3、M-4 及び M-5）

最高血漿中濃度到達時間 (T_{max}) は約 20 時間、消失半減期 ($t_{1/2}$) は約 15 時間であった。

吸收率が、低用量投与の約 70% に比べ、高用量投与では約 30% と低下した。排泄は 96 時間でほぼ終了し、約 80% の糞中排泄のうち多くは未吸収の D2341 であった。168 時間後の体内残存率は 0.5% であり、残留性は認められなかった。

組織内濃度は、雄ラットで 18 時間後、雌ラットで 42 時間後に最高値に達し、以後大部分の組織で経時に減少した。脾臓では 168 時間後まで経時的に増加傾向にあったのでさらに測定を継続した結果、14 日後を最高値として 21 日及び 30 日後では減少した（資料 No. M-5）。

代謝物の様相は低用量と同様であった。

D2341 の作物残留成分として

ため を低用量にて雄ラットに 1 回経口投与し、体内動態を調べ D2341 投与後の動態と比較した（資料 No. M-2）。

が検出された。その安全性検討

吸收

血漿中濃度は、投与後約 6 時間で最高となり、以後半減期約 7 時間で消失した。D2341 投与後とほぼ同様であった。胆汁排泄試験結果から算出された吸収率は約 65% であり、D2341 投与より低かった。

分布

2 時間の各組織内濃度は低く、D2341 投与と同様、残留性は認められなかった。

代謝

排泄

植物（資料 No. M-7、M-8、M-9、M-10、M-11 及び M-12）：

D2341 を温州みかん、オレンジ、りんご及びなすに処理、あるいはなすに土壤処理した後の吸収、移行及び代謝分解について検討した。

温州みかん（資料 No. M-7）、オレンジ（資料 No. M-9）及びりんご（資料 No. M-10）の果実における代謝分解試験の概要は類似していた。すなわち、果実に残留した放射能の多くが果実表面に存在しており、少量果皮へ移行したが、果肉への移行はさらに少なかった。果実の総放射性残留物濃度(TRR)は、420 g a. i./ha 処理の場合、温州みかんで 0.29 ppm (処理 28 日後)、オレンジで 0.35 ppm (処理 43 日後)、りんごで 0.09 ppm (処理 101 日後) であった。

果実中の主要放射能成分は D2341 (記号 A) であり、その他に 2~7%TRR の
1%TRR 以下の
及び
が検出さ

れた。果肉及びジュース中の主要放射能成分は D2341 であり、その残留濃度は最大でも 0.003 ppm (オレンジ、処理 43 日後) であった。

土壤：

好気土壤代謝（資料 No. M-13、M-14 及び M-15）

D2341 あるいは D2341 を用いて好気条件下の日本土壤（軽埴土）あるいは米国土壤（砂壤土）における D2341 の代謝について検討した。

D2341 処理後、D2341 は 0.5 時間以内の半減期で急速に分解した。主要代謝分解物は
及び
であり、これらの半減期はそれぞれ約 7~9 時間及び 5~60
日であった。その他に、少量代謝物として
が検出された。

滅菌土壤においても、D2341 は速やかに分解した。ただし、全体的な分解速度は非滅菌土壤より遅かった。

一方、
の施用では処理 6 日後に二酸化炭素が 86% 生成した。土壤結合性残留物は極めて少ないとから、土壤結合性残留物は
代謝物であると考えられた（資料 No. M-15）。

嫌気性湛水底質代謝（資料 No. M-16）

D2341 を用いて嫌気条件下、底質における D2341 の代謝について検討した。嫌気条件下、D2341 は 77.9 日の半減期で分解した。主要代謝分解物はであった。

加水分解（資料 No. M-17）：

D2341 を用いて pH4、7 及び 9 の滅菌緩衝液中 1ppm、25°C 及び 35°C 条件下の加水分解性について検討した（下表）。分解速度は pH 依存性であり、アルカリ条件下で速やかに分解した。主要分解物は

であった。その他、少量分解物として

が検出された。

試験 pH	温度	半減期
pH4	25°C	21.5 日
	35°C	13.1 日
pH7	25°C	50.7 時間
	35°C	16.1 時間
pH9	25°C	6.7 時間
	35°C	3.1 時間

水中光分解（資料 No. M-18 及び M-19）：

D2341 を用いて滅菌蒸留水及び河川水中 1ppm、25°C 条件下セレンランプ 光分解性について検討した。

	D2341 処理（資料 No. M-18）			
	光照射区	暗所区		
滅菌蒸留水	4.8 時間	12 時間以上		
河川水	0.2 時間	2 時間以上		

土壤吸着（資料 No. M-20）：

D2341 の土壤中での分解が極めて速いため、主要代謝物であるを用いて土壤吸着試験を実施した。

日本の 4 土壤（重埴土、砂質埴壤土、シルト質埴壤土、壤質砂土）における有機炭素吸着係数 K_{p}^{ads} OC は 2793～19384 であり、の土壤移動性は低いことが示唆された。

土壤カラム-チング 試験（資料 No. M-21）

D2341 を用いて米国 4 土壤（シルト質壤土、砂壤土×2、シルト質埴壤土）におけるカラム-チング 試験を行った。

内径 4.8cm × 高さ 30cm の土壤カラムに 520g ai/ha の割合で処理後、雨量換算 100mm/日で 5 日間溶出した結果、¹⁴C の溶出は処理量の 2%以下であり、¹⁴C の殆どは表層 0～6cm に留まった。

本資料に記載された情報に係る権利及び内容の責任は日産化学工業株式会社にある。

D2341 の動植物等における代謝分解経路

代謝分解の概要（1） 動物、植物、土壤等代謝分解物比較

	代謝分解物	親化合物A	合計
動物	雄ラット 10mg/kg 単回経口 (N-1)	尿 0-96時間 糞 0-96時間 胆汁 0-24時間	ND 7.21 ND ND
	雄ラット 10mg/kg 単回経口 (N-2)	血漿 4時間 肝臓* 4時間 脾臓*	0.5 5.3 22.9
		4時間	100.0
植物	温州みかん 420g ai/ha 処理後 28日(N-7)	全果実 実験区 FB 葉 実験区 L (16.623)	67.66 (0.3372) 70.88 (16.623)
	カボジ 420g ai/ha 処理後 43日 (N-9)	表面洗浄 (0.259) 果皮 (0.004) 果肉 (0.001) シード (0.003)	73.2 1.0 0.2 0.7
		表面洗浄 (0.023) 絞り (0.001) かす (0.1) シード (<0.001)	33.0 0.6 0.1 0.1 12.03
	りんご 420g ai/ha 処理後 101日 (N-10)	表面 (0.029) 洗浄 (0.001) 皮 (0.001) 葉、処理 14日 (0.504)	54.8 (0.049) 34.9 (0.031) 10.4 (0.009) 98.97 (4.141)
土壤	解消土 静岡 (N-12)	0.4ppm 7日後 pH4、33日	0.93 (0.0038)
	加水分解 (N-16)	pH7、68時間 pH4、8時間	21.2 15.1
水中	濾液蒸留水 6時間 (N-17)	照崎区 福野区 河川水 1時間	40.3 96.9 3.0 94.8
		照崎区 福野区	100.4 100.5 98.1 100.2

注1) 動物(尿、糞及び胆汁)、土壤、水中光分解、加水分解の数値は試料中放射能に対する%、動物(血漿、肝臓及び腎臓)、植物及び土壤のか1内の数値は濃度(ppm)を表す。
 2) NA:該当なし。 3) ND:検出されず。 4) 5) 空欄は確認を行っていないことを表す。

6) 空欄は確認を行っていないことを表す。

代謝分解の概要 (2) 動物代謝

動物	ラット	代謝分解物				合計
		10 mg/kg	尿	糞	親化合物A	
M-1	単回経口	0-96hr	♀	ND		25.38
		糞	♂	7.21		23.92
		0-96hr	♀	4.82		62.49
		胆汁	♂	ND		65.84
		0-24hr	♀	ND		71.86
	1000 mg/kg	尿	♂	ND		66.94
		0-96hr	♀	ND		8.47
		糞	♂	ND		9.40
		0-96hr	♀	61.26		85.16
		胆汁	♂	47.88		79.93
M-2	単回経口投与	0-96hr	♀	0.59		25.67
		尿	♂	0.42		20.67
		糞	♂	<0.1		27.7
		0-48hr	酵素前**	0.1		27.7
		0-48hr	酵素後**			
	ラット	0-48hr	酵素前**	3.2		55.4
		胆汁	酵素前**	0.1		
		0-24hr	酵素後**	3.2		
		血漿	♂	0.5		
		4hr	♂	5.3		
		肝臓#	♂	22.9		
		脾臓#	♂	ND		100.0
		4hr	♂	ND		100.0
						100.0

注1) 尿、糞及び胆汁の数値は投与放射能に対する%、血漿、肝臓及び脾臓の数値は組織中放射能に対する%。 2) NA:該当なし。 3) ND:検出されず。

4) *:拡散及び低レベル放射能を含む不明の成分。
8) 空欄は確認を行っていないことを表す。

代謝分解の概要 (3) 植物代謝

代謝分解物	植物	温州みかん g ai /ha	全果実	散布直後	親化合物 A		合計
					実験区 FB	處理後 28日	
葉**	M-7	420 g ai /ha	散布直後	89.92 (0.4164)	98.31 (0.4526)	97.51 (0.4633)	98.82 (0.1943)
			處理後 56日	67.66 (0.3372)			97.56 (0.3122)
			處理後 84日	54.22 (0.1089)			100.08 (34.0947)
			處理後 84日	44.33 (0.1450)			99.24 (23.3309)
			散布直後	93.30 (31.8232)			99.93 (20.7631)
実験区 L	M-8	420 g ai /ha	處理後 28日	70.88 (16.6623)			77.8 (0.275)
			處理後 56日	58.20 (12.0959)			19.2 (0.070)
			處理後 56日	73.2 (0.259)			0.9 (0.003)
			表面洗浄葉皮	1.0 (0.004)			1.2 (0.005)
			果肉	0.2 (0.001)			
			シ -	0.7 (0.003)			
			入				
オレンジ	M-9	420 g ai /ha	處理後 43日	76.5 (1.12)			80.6 (1.182)
			表面洗浄葉皮	2.5 (0.037)			17.7 (0.259)
			果肉	0.1 (0.001)			0.9 (0.013)
			シ -	0.1 (0.001)			10.8 (0.012)
			ス				
りんご	M-10	420 g ai /ha	處理後 101日	33.0 (0.029)			54.8 (0.049)
			表面洗浄校りかす	0.6 (0.001)			34.9 (0.031)
			シ -	0.1 (<0.001)			10.4 (0.009)
			ス				
なし	M-11	2240 g ai /ha	處理後 14日	46.5 (0.173)			65.5 (0.244)
			表面洗浄葉皮組織	0.4 (0.001)			25.7 (0.096)
			シ -	<0.1 (<0.001)			8.9 (0.033)
			ス				
			入	11.73 (0.491)			71.71 (3.000)
			葉	0.30 (0.013)			27.26 (1.141)
			後				

注1) 数値は試料中総放射能に対する%(%TRR)、カッコ内の数値は濃度(ppm)を表す。 2) NA: 該当なし。 3) ND: 検出されず。 4) 空欄は確認を行っていないことを表す。

代謝分解の概要 (4) 土壌代謝-1

代謝分解物		親化合物A				合計
土壤	好気性 煙条件	0.4 ppm	85.03 (0.3559)			99.75 (0.418)
土壤	静岡 日本 土壌	0.4 ppm	2 時点 3.82 (0.0202)			97.62 (0.399)
		時間	1日 3.08 (0.0126)			97.45 (0.255)
M-12	非減菌 土壤	3 日	0.11 (0.0045)			99.01 (0.123)
		7 日	0.93 (0.0038)			95.66 (0.0962)
		14 日	0.92 (0.0037)			103.56 (0.0705)
		28 日	0.56 (0.0023)			102.7 (0.052)
		0.4 ppm	93.81 (0.3702)			101.62 (0.401)
		時間	0.5 20.66 (0.0815)			99.24 (0.3897)
	減菌 土壤	1日	12.56 (0.0504)			96.8 (0.3681)
		7 日	8.18 (0.0328)			99.88 (0.3069)
		14 日	9.45 (0.0379)			99.16 (0.223)

注1) 数値は処理放射能に対する%、カッコ内の数値は濃度(mg/kg乾土)を表す。 2) NA: 測定せず。 3) ND: 検出せず。

代謝分解の概要（5） 土壌代謝－2

代謝分解物	親化合物A											CO ₂	合計
		非抽出物	0.2	NA	107.5	NA	103.3	0.0	104.2	0.1	98.8		
土壤好気条件 砂土	0.4 ppm	0時点	93.2										
		2時間	1.6										
1日	1.2												
3日	1.0												
7日	0.9												
14日	0.7												
28日	0.6												
土壤嫌気性条件 湛水底質	1.24 ppm	0時点	93.1										
		7日	78.5										
14日	69.0												
4ヶ月	32.5												
8ヶ月	7.1												
12ヶ月	4.8												
月													

注1) 数値は処理放射能に対する%。 2) NA: 測定せず。 3) ND: 検出されず。 4) 空欄は確認を行っていないことを表す。

代謝分解の概要 (6) 加水分解

代謝分解物				親化合物A	合計
加水分解 分解液 M-16	滅菌 緩衝液	pH4	1ppm	0日 92.9	98.3
		25℃	4日	85.6	98.0
		20日	50.6	98.0	
		33日	27.3	99.3	
	1ppm 35℃	0日	93.0	98.3	
		4日	78.7	96.1	
		12日	49.0	100.2	
		17日	22.0	99.7	
	pH7 リン酸 緩衝液	1ppm 25℃	0時間 95.7	100.1	
		12時間	91.5	99.3	
		24時間	82.3	99.1	
		68時間	21.2	99.9	
	1ppm 35℃	0時間	91.0	101.0	
		12時間	67.8	99.4	
		18時間	39.2	100.5	
		22時間	18.2	99.3	
	pH9 カーボン酸 緩衝液	1ppm 25℃	0時間 92.7	96.9	
		3時間	85.0	97.5	
		6時間	56.8	95.2	
		8時間	15.1	97.5	
	1ppm 35℃	0時間	91.2	100.9	
		1時間	90.3	100.9	
		3時間	60.4	99.9	
		4時間	16.2	98.2	

注1) 数値は処理放射能に対する%。 2) ND: 検出されず。

代謝分解の概要 (7) 水中光分解

代謝分解物			観化合物A			合計
水中光分解	人工光 セレクタープラグ	滅菌蒸留水	照射区	0時間	96.4	
M-17	暗所区	3時間	60.6			99.5
		6時間	40.3			100.2
		12時間	5.0			100.4
		0時間	96.4			98.4
		3時間	96.8			99.5
		6時間	96.9			100.1
	河川水	12時間	96.9			100.5
		0時間	96.6			100.4
		0.5時間	22.5			99.2
		1時間	3.0			99.1
		2時間	1.9			98.1
		0時間	96.6			96.0
	暗所区	0.5時間	95.0			99.2
		1時間	94.8			99.1
		2時間	89.5			100.2
						97.4

注1) 数値は処理放射能に対する%。 2) ND: 検出されず。

本資料に記載された情報に係る権利及び内容の責任は日産化学工業株式会社にある。

ビフェナゼートの開発年表